

Обзор экспериментов по поиску Темной Материи

Д.Ю. Акимов
ИТЭФ

Содержание доклада

- Мотивация поиска Темной Материи
- Регистрация WIMP
- Эксперименты:
DAMA/LIBRA; DM-Ice; CoGeNT; CRESST; COUPP

Детекторы на жидких благородных газах:

ZEPLIN-III; Xenon100; LUX; Darkside-50; XMASS;
LZ; MAX; РЭД

Мотивация

Сегодня свидетельства в пользу существования Темной Материи намного сильнее, чем когда-либо!

Астрофизическая мотивация

Кривые вращения спиральных галактик

Гравитационное линзирование скоплениями галактик

Космологическая мотивация

Крупномасштабная структура Вселенной

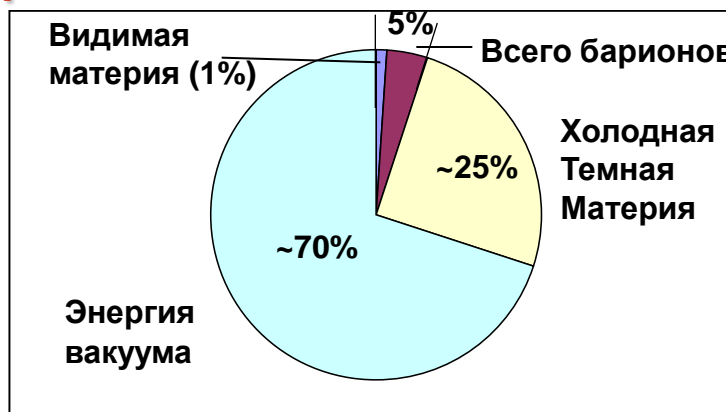
Анизотропия реликтового излучения (CMB)

N-body симуляция

Замечательное согласие выводов по CMB and SN Ia

Теория нуклеосинтеза

Современная космологическая модель

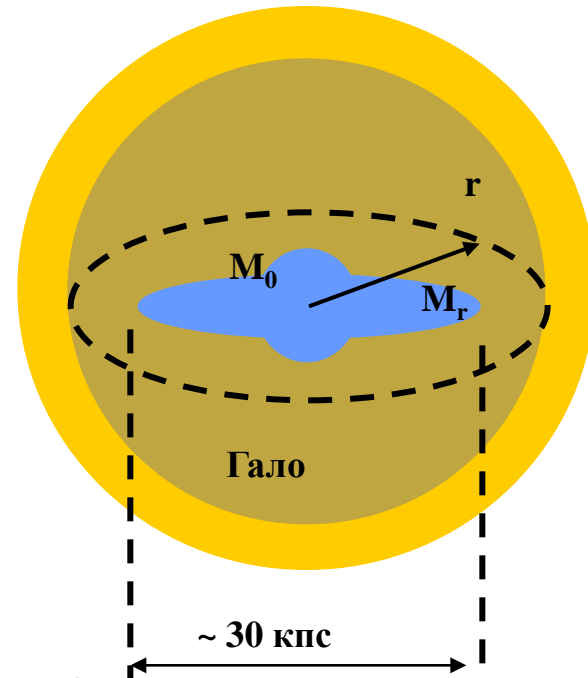
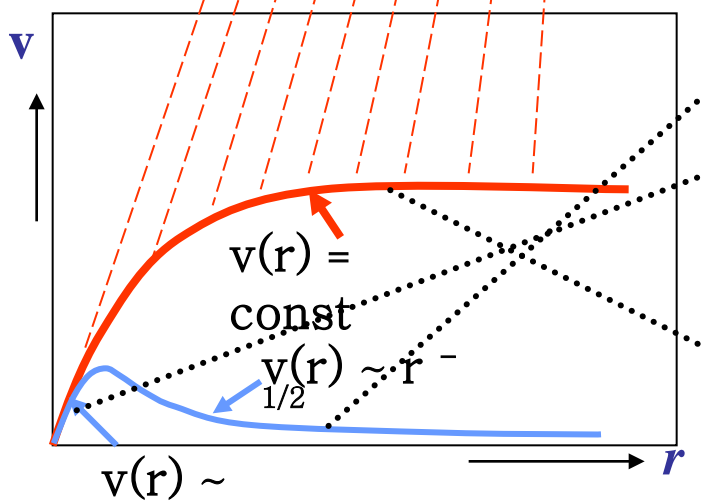


$$\rho \approx \rho_{cr} \Rightarrow$$

$$\Omega = \rho / \rho_{cr} \approx 1$$

Астрофизические свидетельства

Что же наблюдается на галактических масштабах?



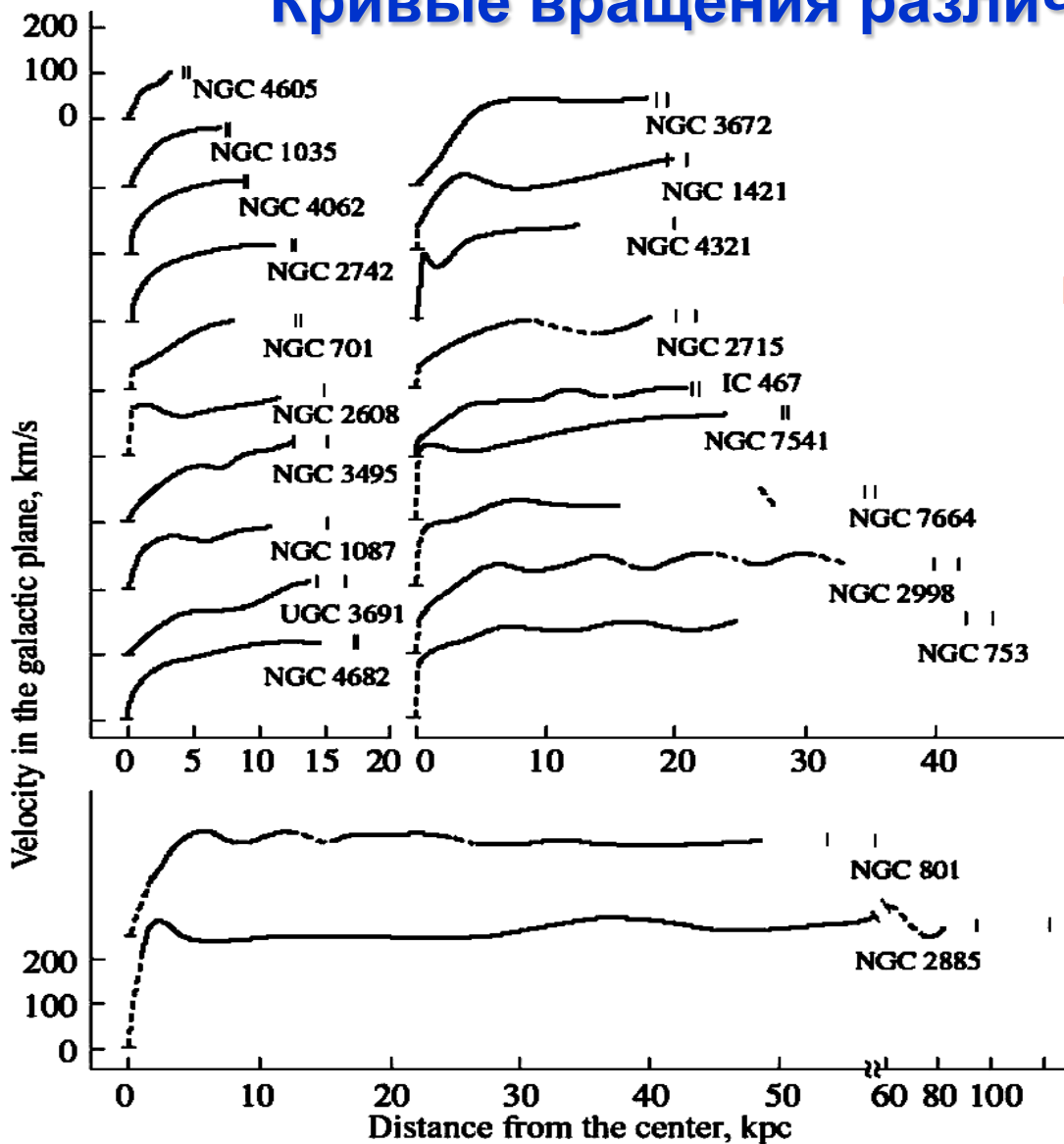
$v(r) \sim r^{-1/2}$ для случая центральной массы M_0

$v(r) \sim r$ для случая равномерного
распределения массы ($M_r \sim r^3$)

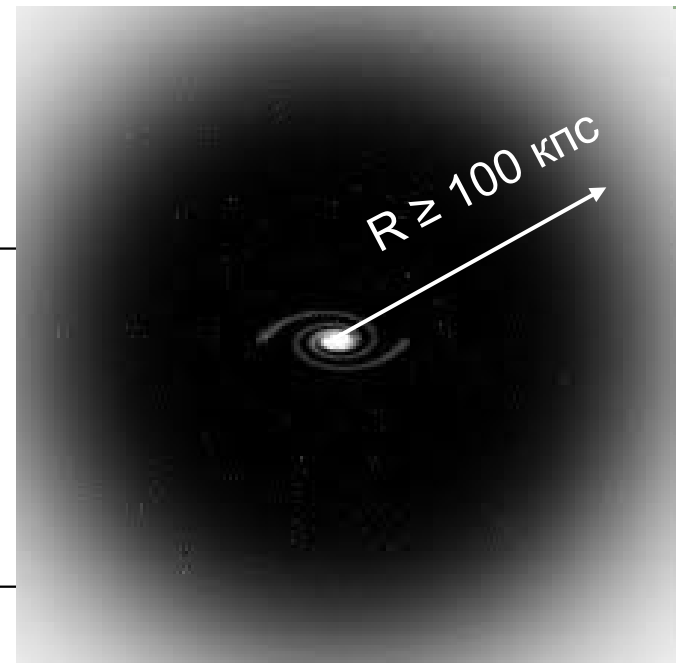
$v(r) = \text{const}$ для случая $M_r \sim r$

Астрофизические свидетельства

Кривые вращения различных галактик

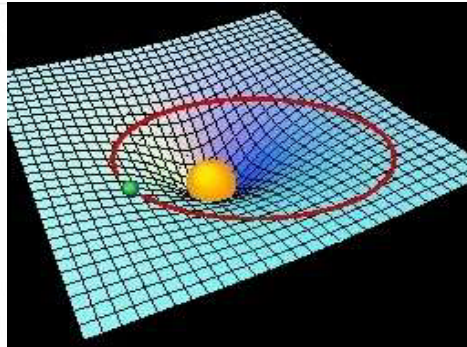


Для объяснения такого поведения кривых необходимо количество гравитирующей материи в ~10 раз превышающее количество видимой!

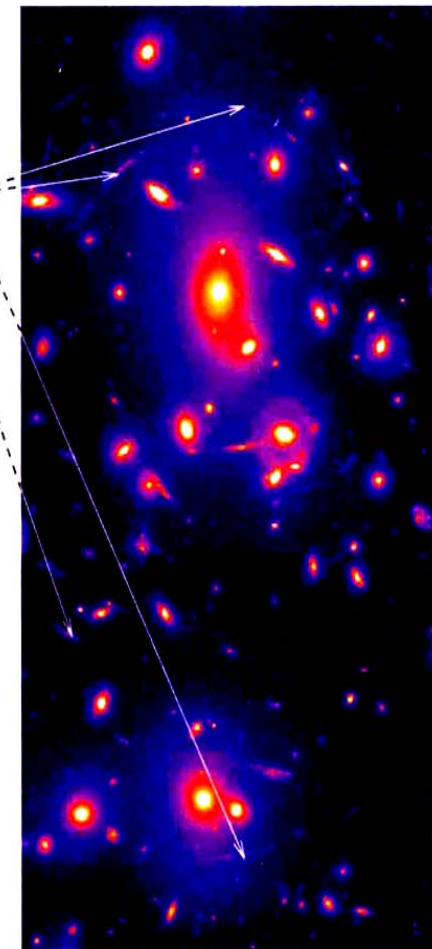
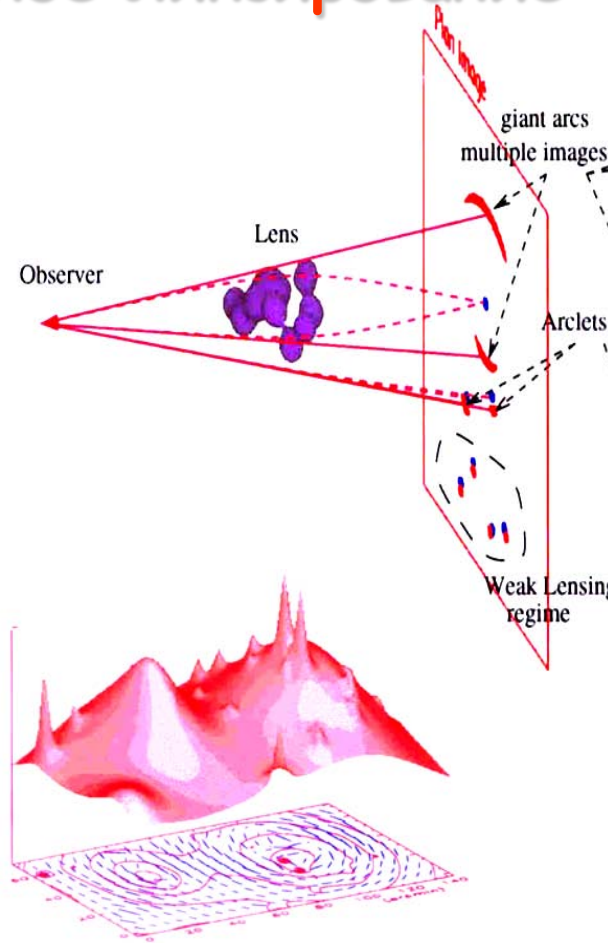
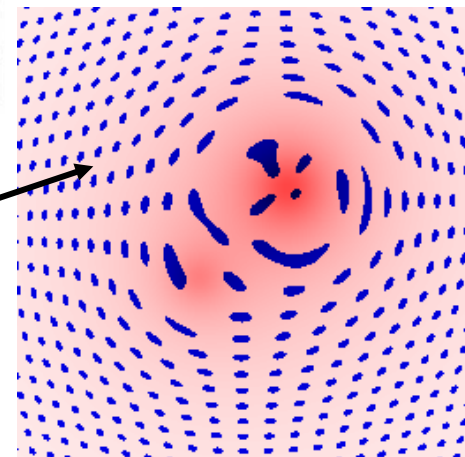


Астрофизические свидетельства

Гравитационное линзирование



Так выглядел бы регулярный паттерн, находящийся за "размазанным" массивным объектом

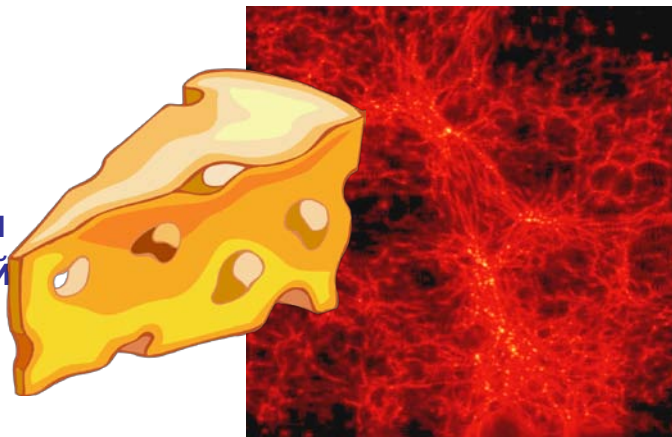


Также требуется на порядок величины большая масса

Космологическая мотивация



Крупномасштабная структура Вселенной, реконструированная из измерений красного смещения объектов



Результат N-body симуляции, проведенный на суперкомпьютерах

Главный результат симуляции – Темная Материя должна быть холодной (нерелятивистской)

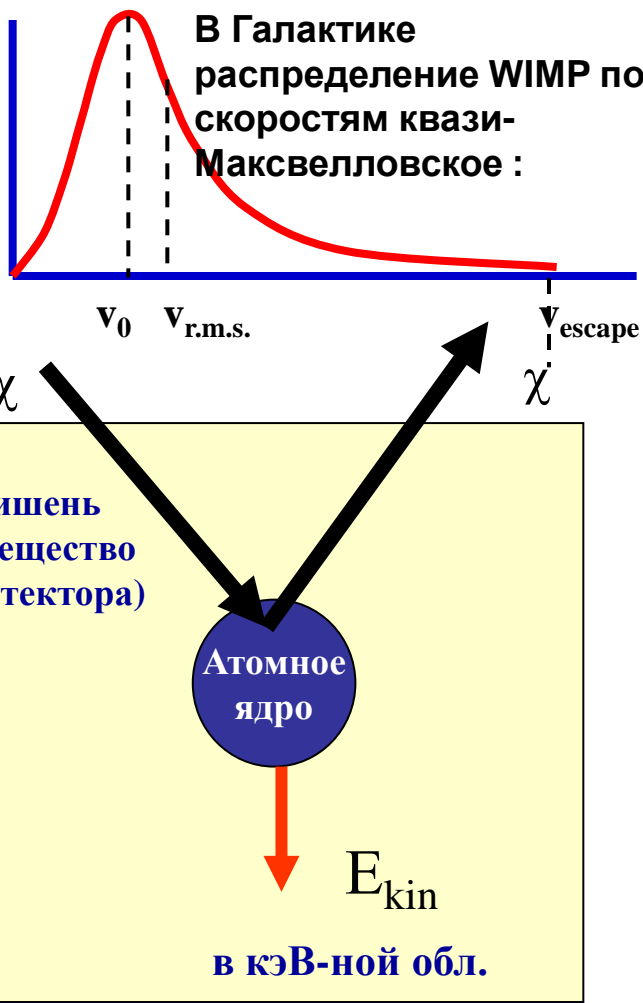
Теория Суперсимметрии SUSY предоставляет нам новый класс частиц.

Нейтралино – наиболее вероятный кандидат в WIMP - (Weakly Interacting Massive Particles)

Диапазон масс от неск. дес. до неск. сотен ГэВ

Местная галактическая плотность ~ 0.3 ГэВ/см³ ~неск. частиц в литре!

Прямое детектирование



$\sigma \sim A^2$ - spin-independent (SI) interaction

$\sigma \sim J(J+1)$ - spin-dependent (SD) interaction

$$\frac{dn_w}{dv} = 4\pi \left(\frac{1}{\pi v_0^2} \right)^{1/2} v^2 \exp\left(-\frac{v^2}{v_0^2}\right)$$

$$\frac{dN}{dE} = \frac{\rho}{M_\chi} \sigma N_N \frac{M_N c^2}{4m_{\text{red}}^2 v_0} \frac{g(\eta, E)}{\eta} F_N^2(E))$$

$$g(\eta, E) = \begin{cases} \text{erf}(\xi + \eta) - \text{erf}(\xi - \eta) - \frac{4}{\sqrt{\pi}} \eta e^{-z^2} & \xi \leq z - \eta \\ \text{erf}(z) - \text{erf}(\xi - \eta) - \frac{2}{\sqrt{\pi}} (z + \eta - \xi) \eta e^{-z^2} & z - \eta \leq \xi \leq z + \eta \\ 0, & \xi \geq z + \eta, \end{cases}$$

M_χ , M_N и m_{red} – masses of WIMP and target nucleus, and their reduced mass, respectively;

$$\xi_i = \sqrt{\frac{M_i E_i}{2m_{\text{red}}^2 v_0^2}} \quad \eta = \frac{v_{\text{Earth}}}{v_0} \quad z = \frac{v_{\text{escape}}}{v_0}$$

$v_{\text{Earth}} = 232$ km/s – Earth velocity,

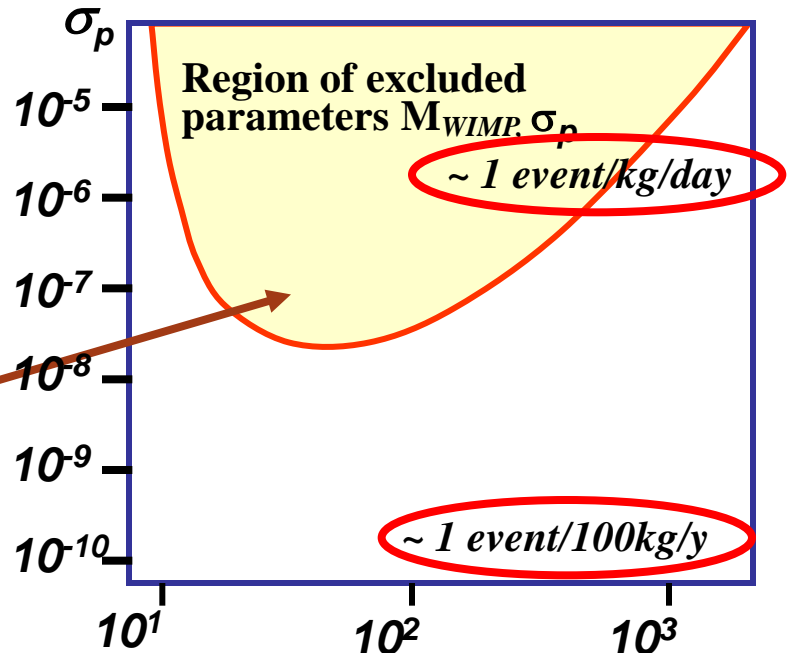
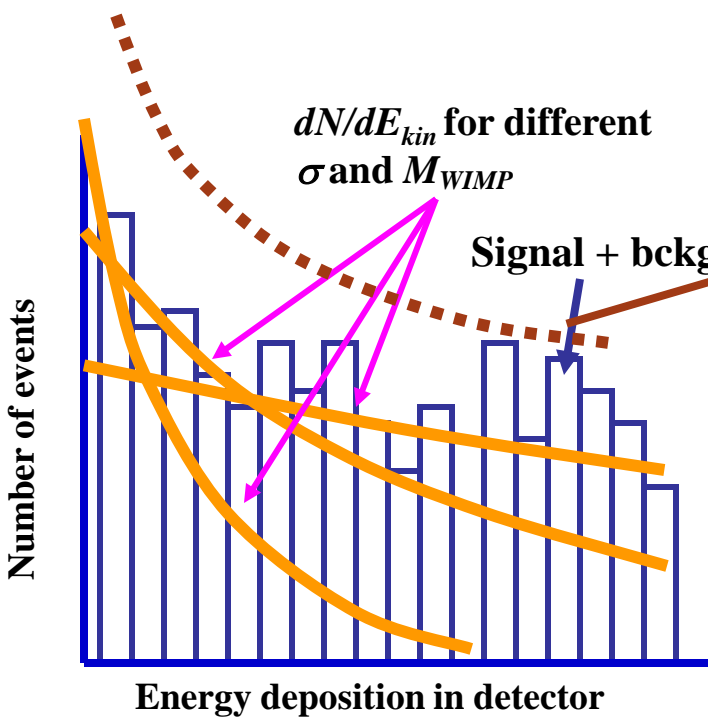
$v_0 = \sqrt{\frac{2}{3}} v_{r.m.s.}$ – Quasi-Maxwell distribution parameter, N_N – number of target nuclei,

$\rho = 0.3$ GeV/cm³ – WIMP density in Galactic halo,

σ – WIMP interaction cross-section,

$F_N^2(E)$ – nuclear form factor

Прямое детектирование

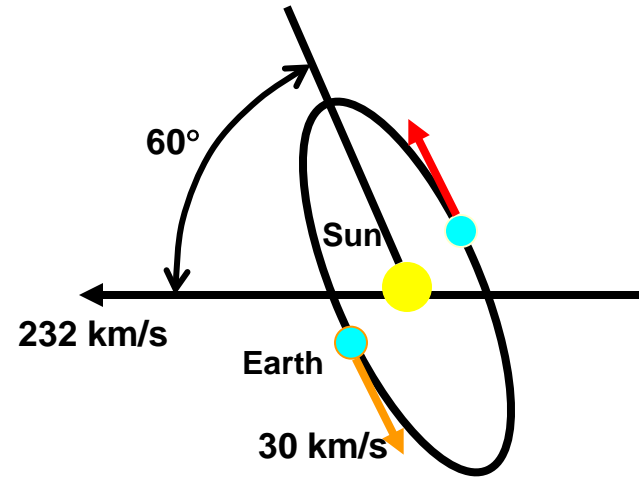
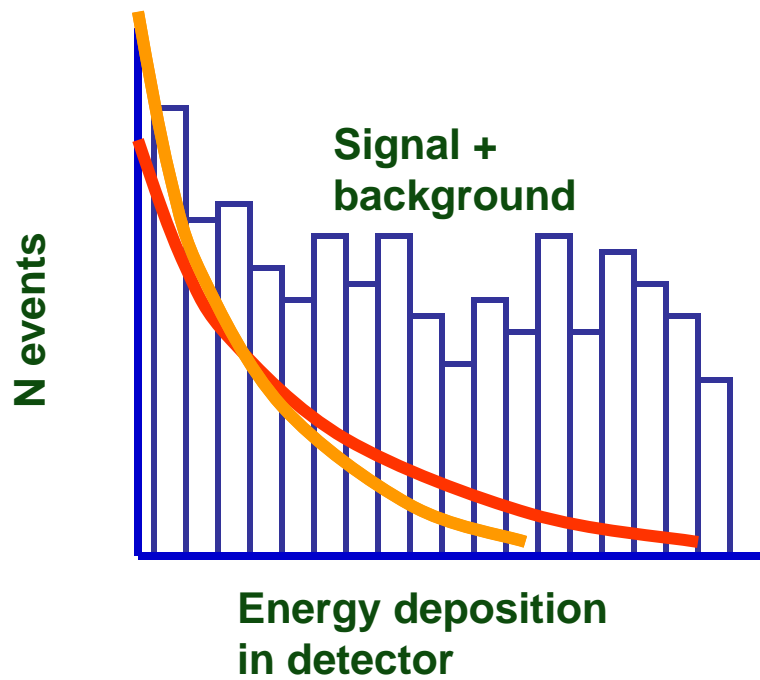


$$\sigma_p = \frac{m_{\text{red}}^2(p,W)}{C m_{\text{red}}^2(\text{Nucl},W)} \sigma < \sim 10^{-7} \text{ pb}$$

M_W
 $C = A^2$

Exponential behavior is very similar to that of bckg of various origins.

Годичная модуляция

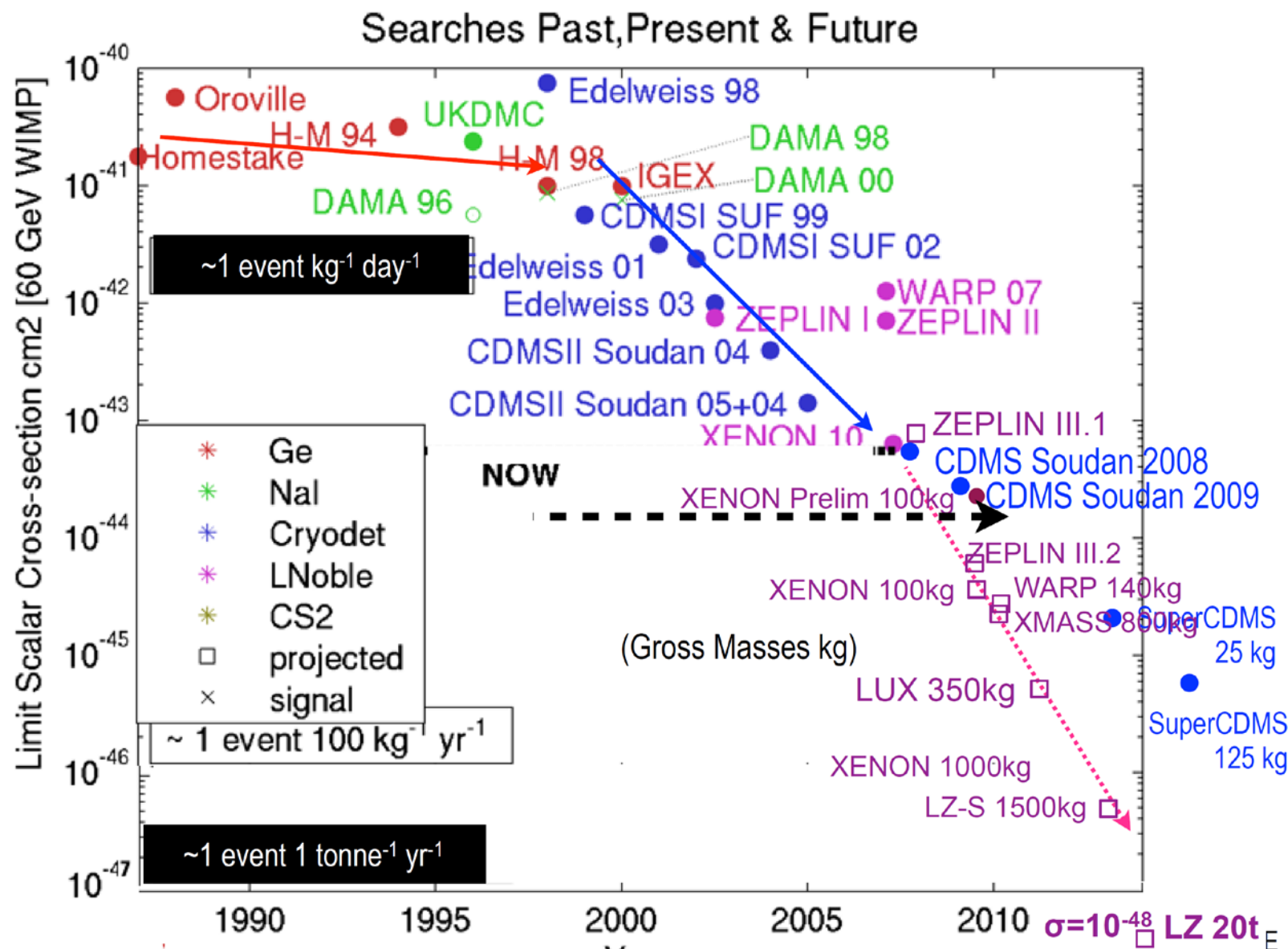


Ожидаемая вариация темпа счета WIMP $\sim 5\%$
(с максимумом 2 го июня)

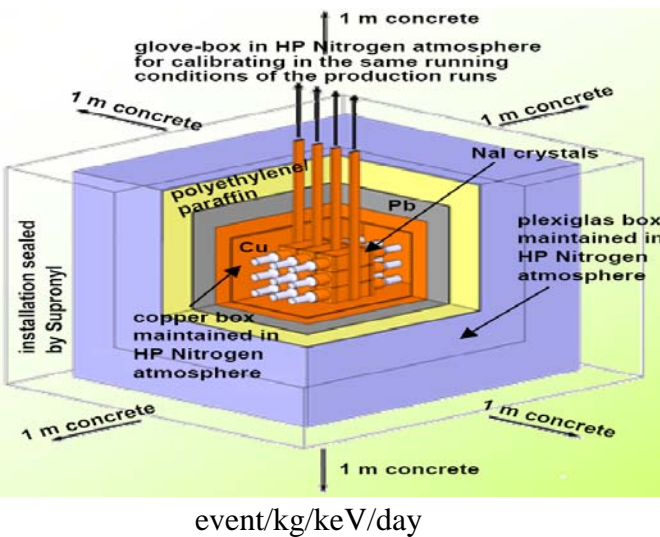
Эксперименты

Experiment	Target	Experiment	Target
ANALIS	NaI	DAMA/LXe	LXe
DAMA/NaI	NaI	WARP	LAr
DAMA/LIBRA	NaI	XENON 10	LXe
DAMA/1 ton	NaI	XENON 100	LXe
NAIAD	NaI	Zeplin I	LXe
HDMS	Ge	Zeplin II	LXe
KIMS	CsI	Zeplin III	LXe
Caf2-Kamioka	CaF2	ArDM	LAr
CDMS	Ge	LUX	LXe
CRESST	CaWO4	LZS/LZD	LXe
EDELWEISS	Ge	MAX	LXe/LAr
EURECA	Ge	CLEAN	LNe
CoGeNT	Ge	DEAP	LAr
ROSEBUD	Ge, sapphire	XMASS	LXe
COUPP	FSH	MIMAC	3He gas
PICASSO	FSH		
SIMPLE	FSH		
NEWAGE	CF4		
DM-TPC	CF4		
Drift	CS2		
MIMAC	3He gas		

DM Direct Search Progress Over Time (2011/12)



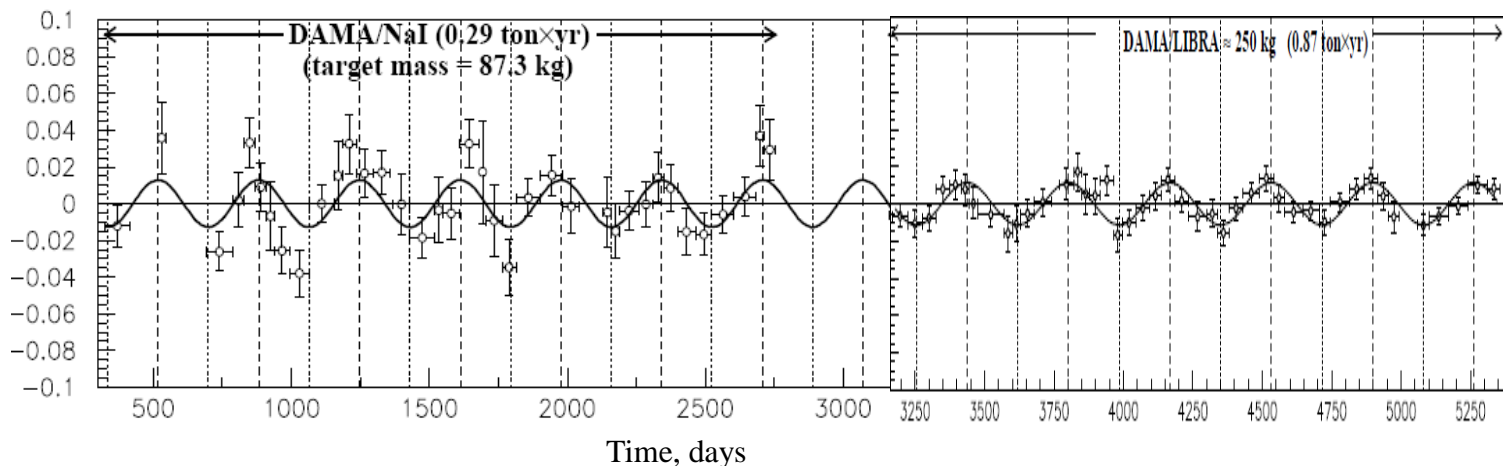
DAMA/LIBRA



Total exposure
 $\sim 1.17 \text{ t} \cdot \text{y}$

arXiv:1002.1028v1
[astro-ph.GA]

Deviation of the count rate from the mean value (2 - 6 keV only) during the whole exposure time on both setups DAMA and LIBRA

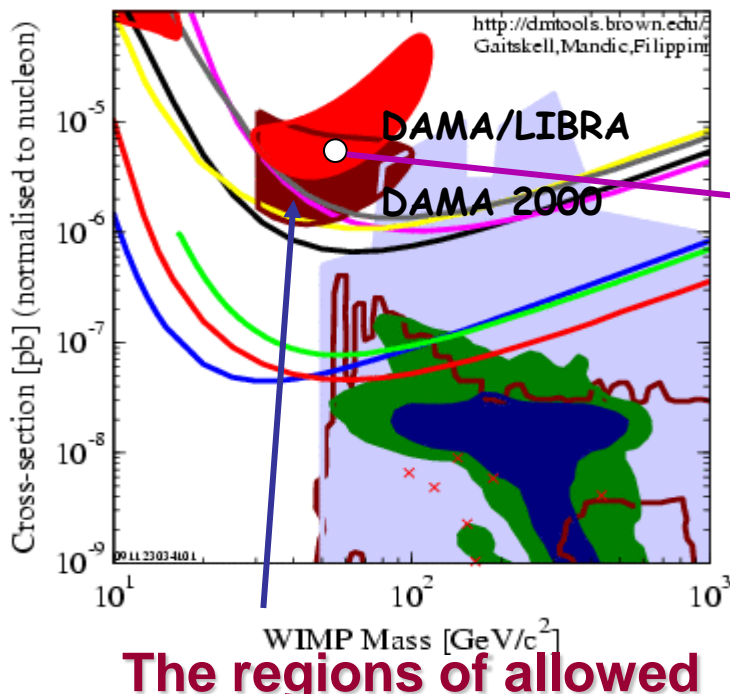


$A \cdot \cos(\omega(t - t_0))$ with a period $T = 2\pi/\omega = 0.999 \pm 0.002 \text{ y}$,
and a phase $t_0 = 146 \pm 7 \text{ day}$, which is very close to the expected: 152.5 days (2 June)

$A = (0.0114 \pm 0.0013) \text{ event/kg/keV/day}$, C.L. = 8.8σ

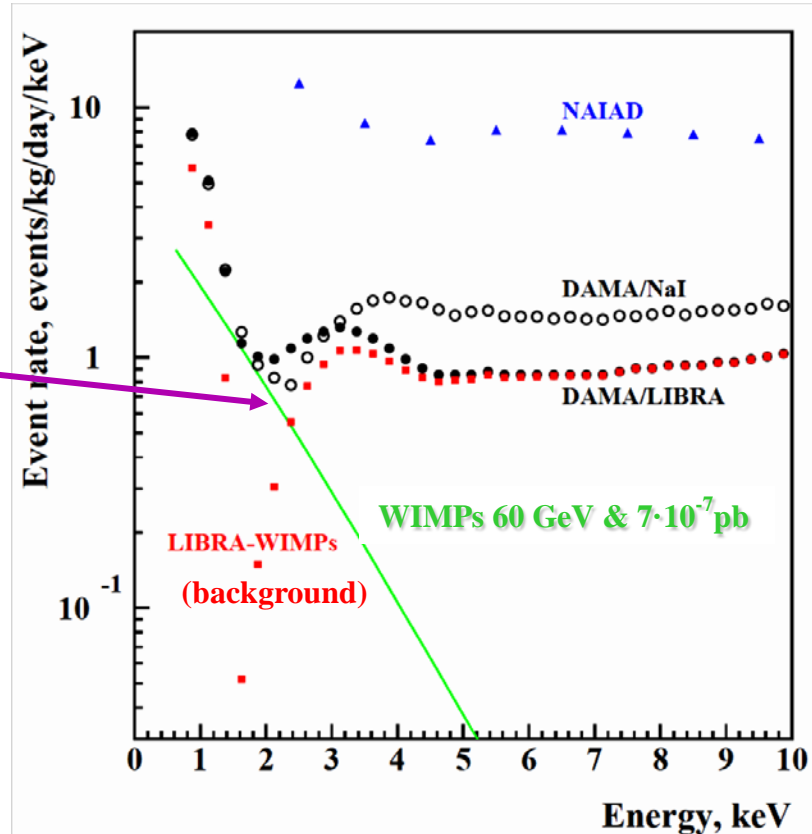
DAMA/LIBRA

DATA listed top to bottom on plot
 DAMA/LIBRA 2008 3sigma, no ion channeling
 Edelweiss 1 final limit, 62 kg-days Ge 2000+2002+2003 limit
 DAMA 2000 58k kg-days NaI Ann. Mod. 3sigma w/DAMA 1996
 ZEPLIN I (2005)
 WARP 2.3L 96.5 kg-days 55 keV threshold
 ZEPLIN II (Jan 2007) result
 ZEPLIN III (Dec 2008) result
 CDMS: 2004+2005 (reanalysis) +2008 Ge
 XENON10 2007 (Net 136 kg-d)
 Trotta et al 2008, CMSSM Bayesian: 68% contour
 Trotta et al 2008, CMSSM Bayesian: 95% contour
 Ellis et. al Theory region post-LEP benchmark points
 Baltz and Gondolo 2003
 Baltz and Gondolo, 2004, Markov Chain Monte Carlos
 09 LL 23 06 26 00



But there is a significant discrepancy!

arXiv:0912.2983v1 [hep-ex]



DM-Ice

250 – 500 kg NaI(Tl)

DM-Ice-17: First Step

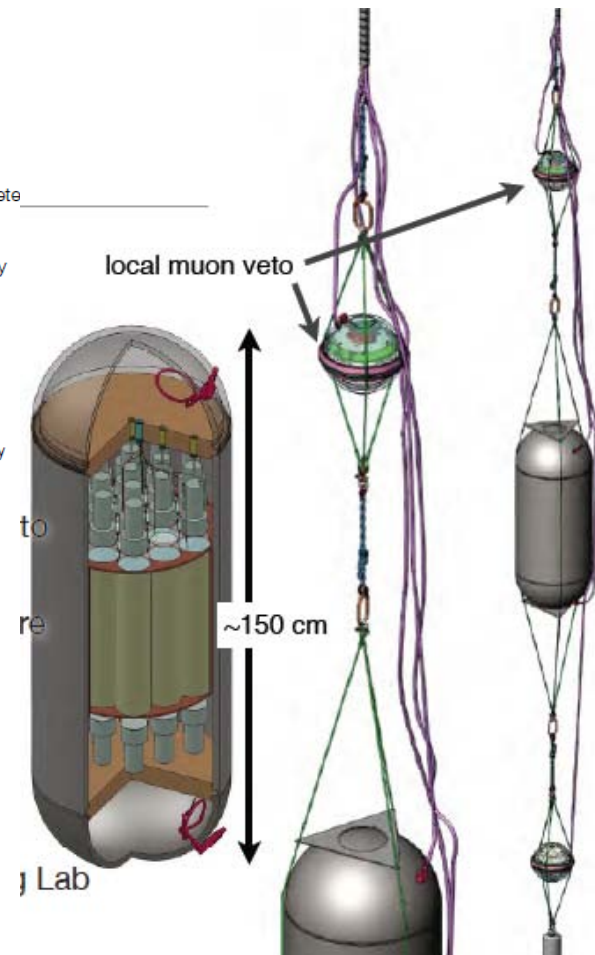
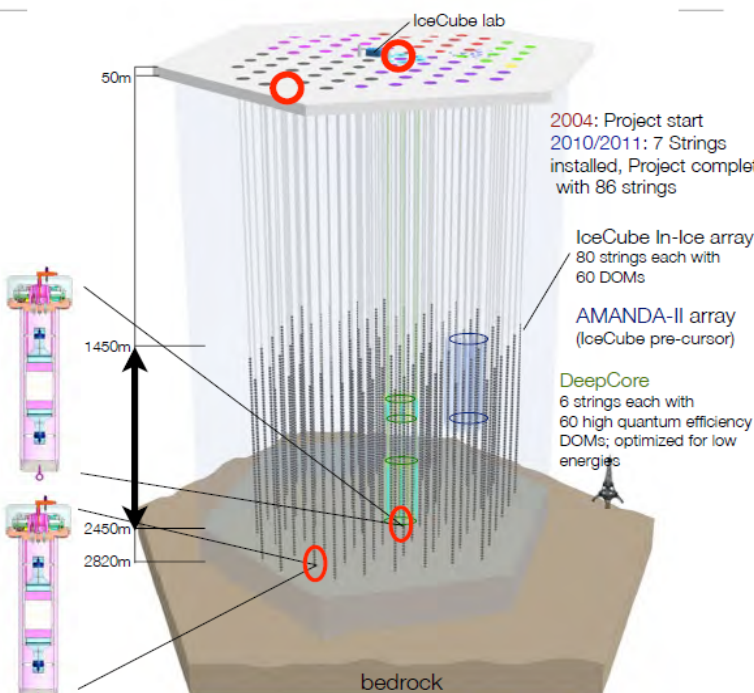
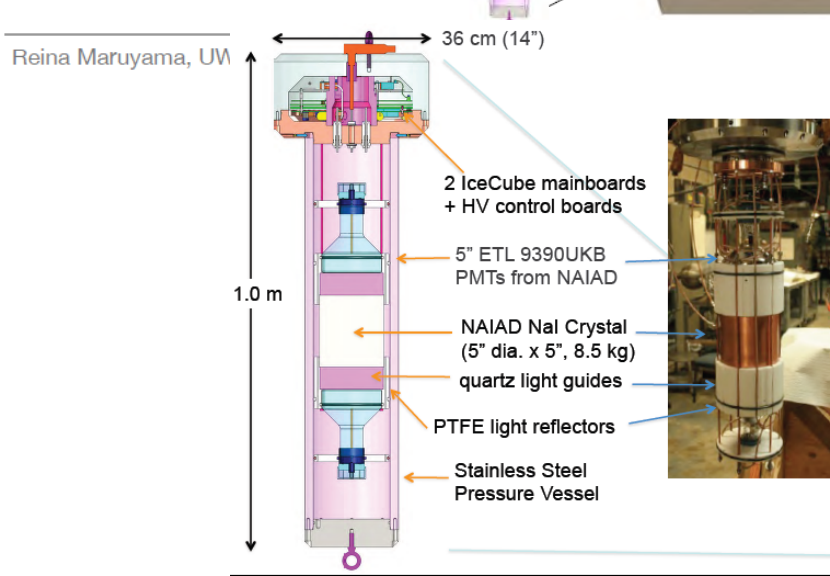
Detectors:

- Two 8.5 kg NaI detectors from NAIAD (17 kg total)

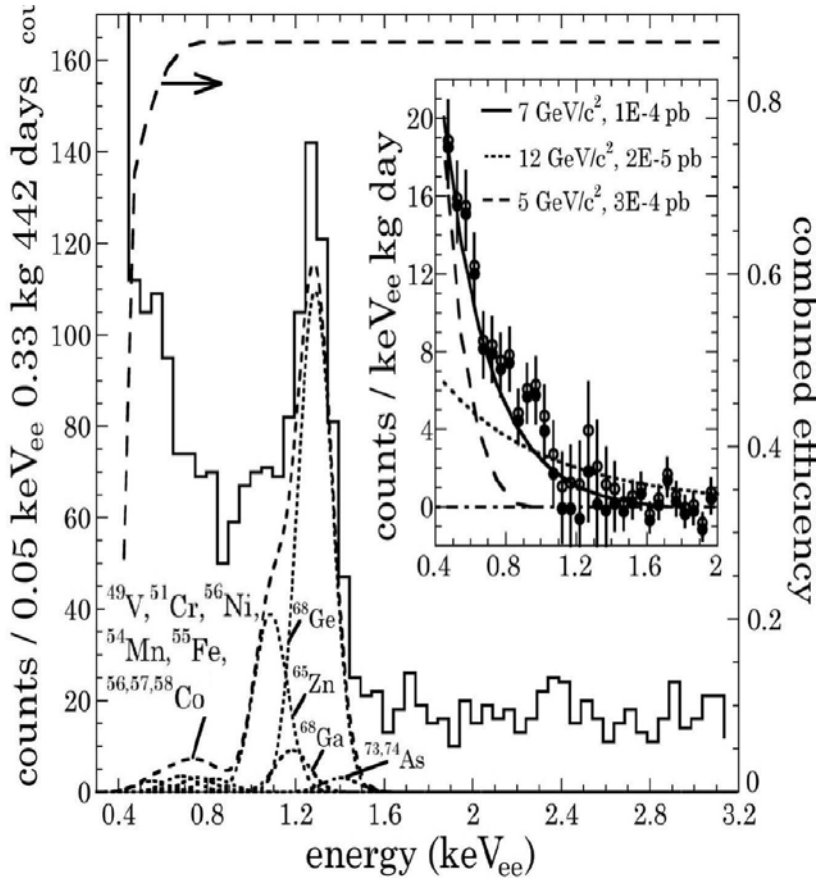
Goals:

- Assess the feasibility of deploying NaI(Tl) crystals in the Antarctic Ice for a dark matter detector
- Establish the radiopurity of the antarctic ice / hole ice
- Explore the capability of IceCube to veto muons

Installed Dec. 2010

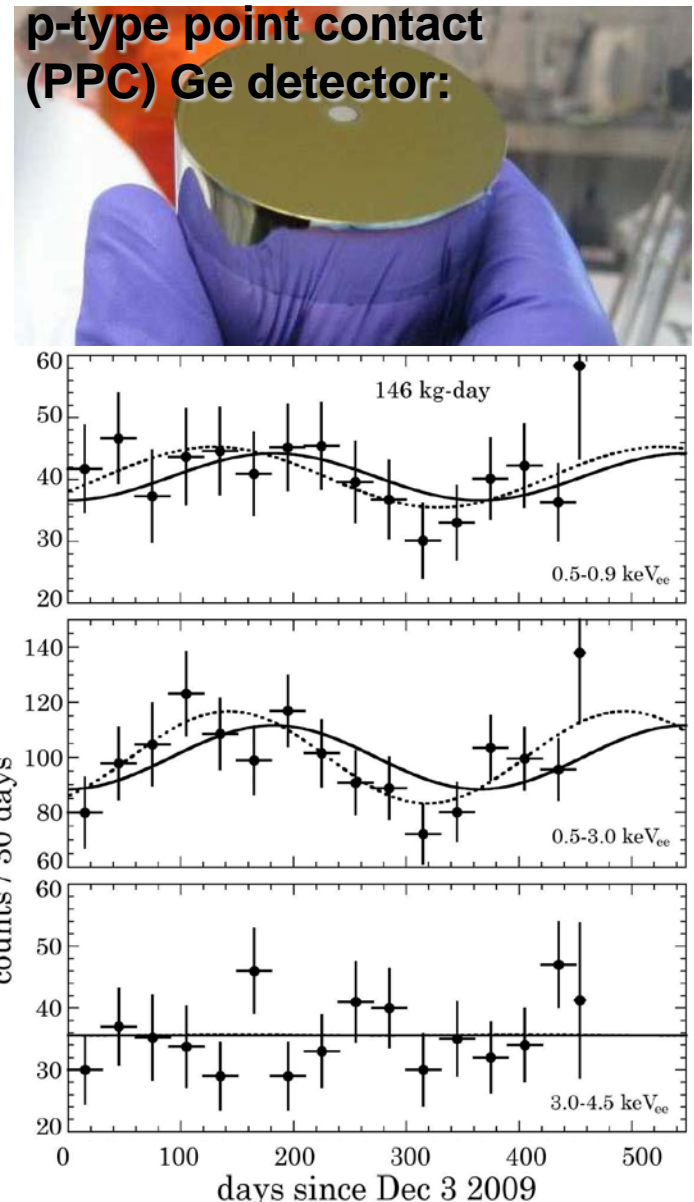


In Soudan mine 2,100 m.w.e.,
Dark Matter run:

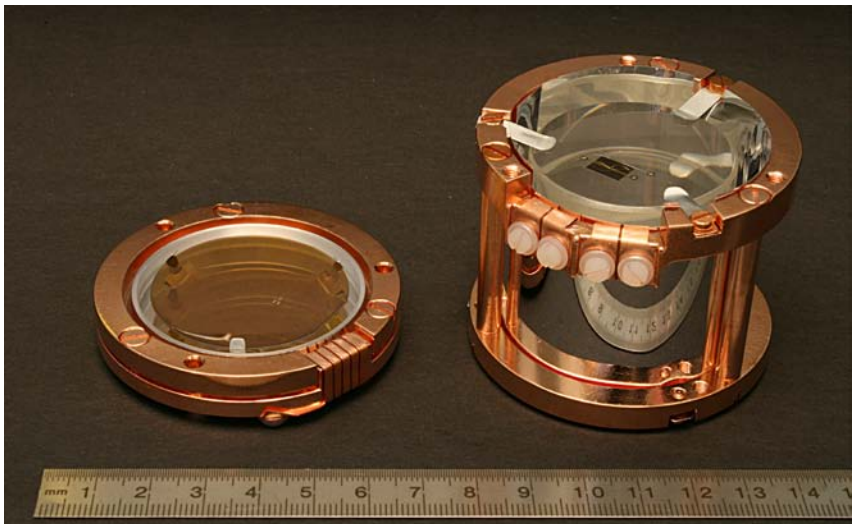
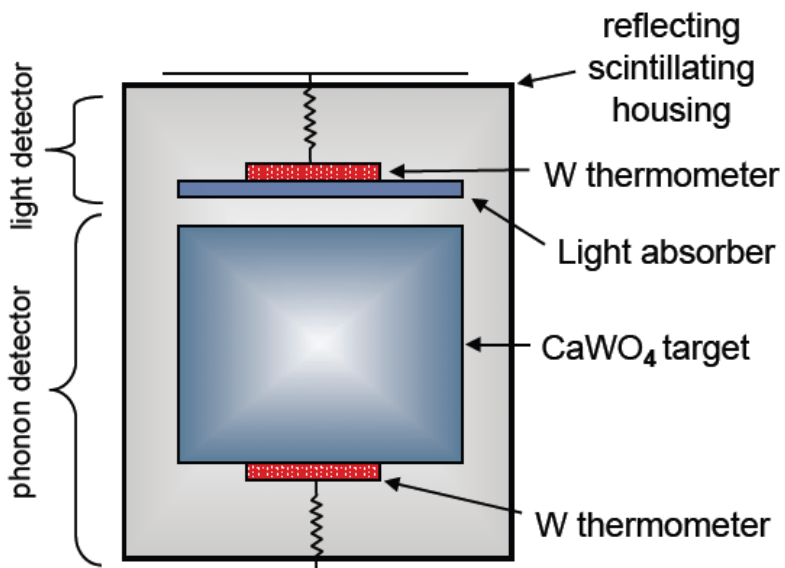


“Search for an Annual Modulation in a P-type Point Contact Germanium Dark Matter Detector”

arXiv:1106.0650 [astro-ph.CO]

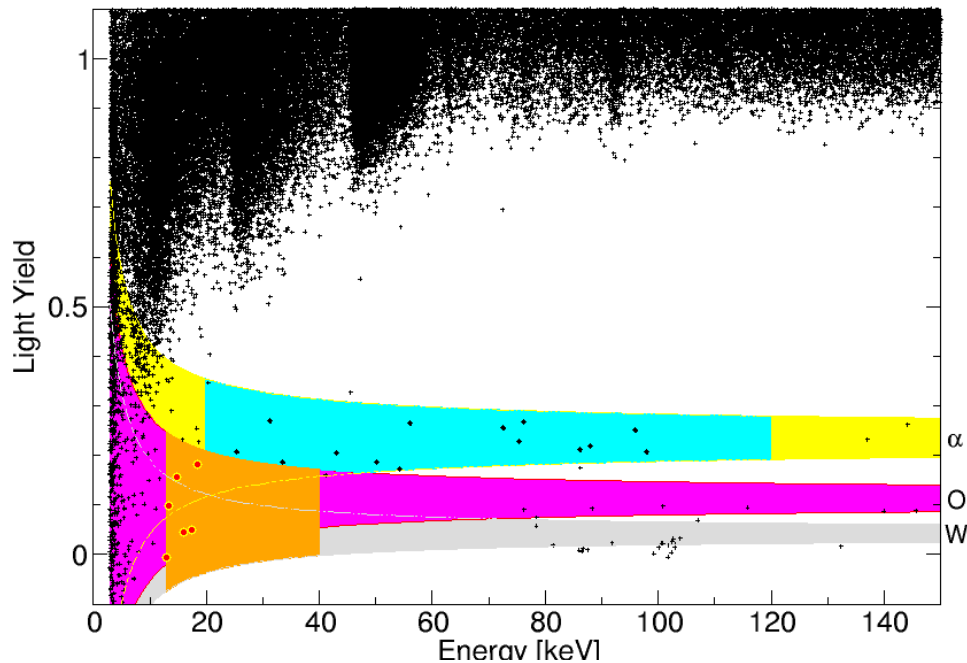


CRESST



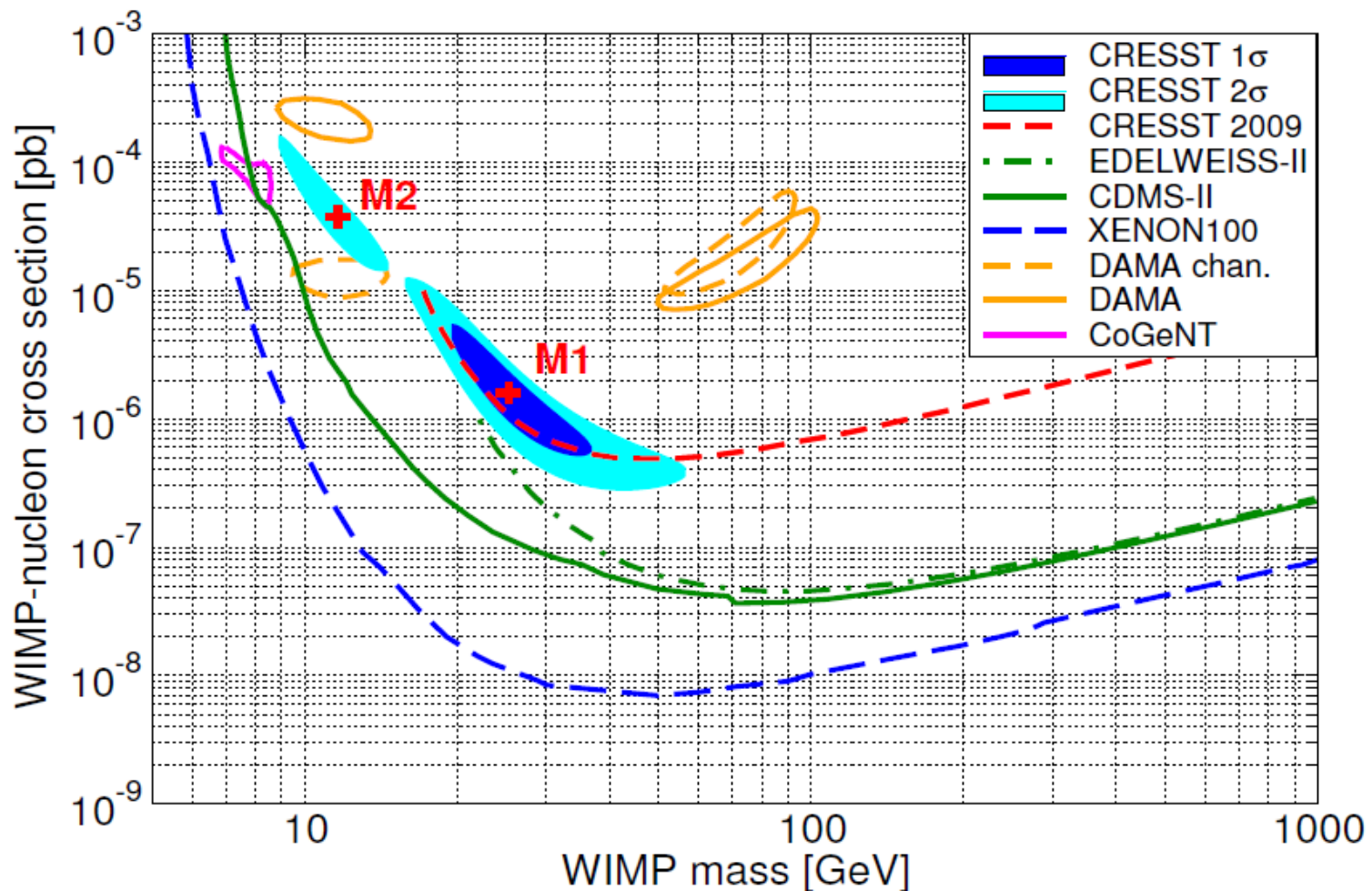
18 modules

analysis from 8 modules



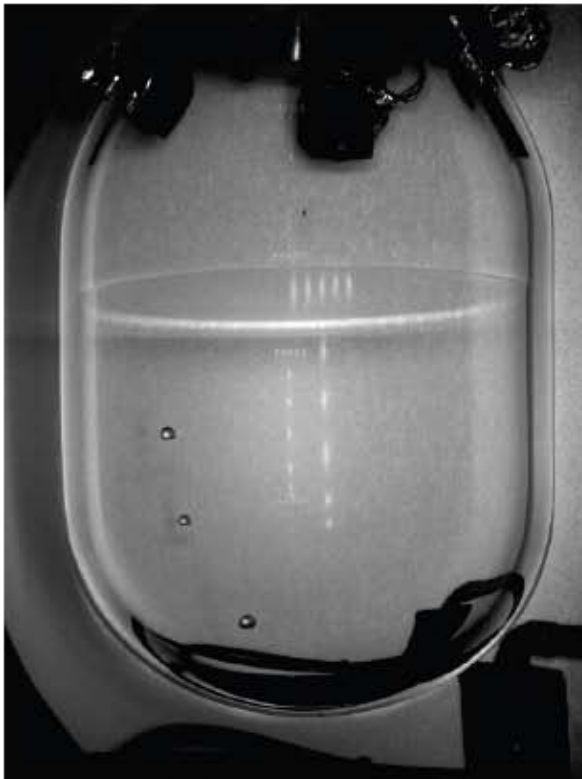
	M1	M2
e/γ events	8.00 ± 0.05	8.00 ± 0.05
α events	$11.5^{+2.6}_{-2.3}$	$11.2^{+2.5}_{-2.3}$
neutron events	$7.5^{+6.3}_{-5.5}$	$9.7^{+6.1}_{-5.1}$
Pb recoils	$15.0^{+5.2}_{-5.1}$	$18.7^{+4.9}_{-4.7}$
signal events	$29.4^{+8.6}_{-7.7}$	$24.2^{+8.1}_{-7.2}$
m_χ [GeV]	25.3	11.6
σ_{WN} [pb]	$1.6 \cdot 10^{-6}$	$3.7 \cdot 10^{-5}$

CRESST

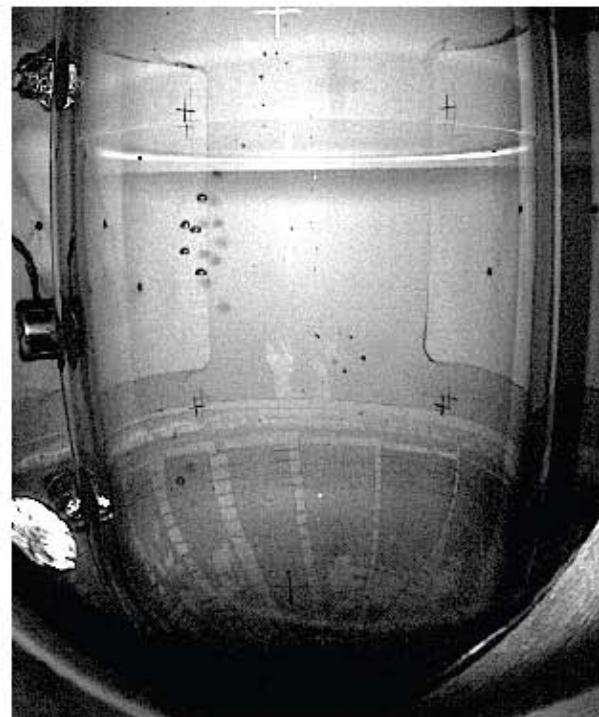


The COUPP program

- ▶ COUPP-4: A 2-liter chamber - shallow site in 2009, at SNOLAB since September, 2010
- ▶ COUPP-60: A 30-liter chamber commissioning at Fermilab, goal is to move to SNOLAB within a year



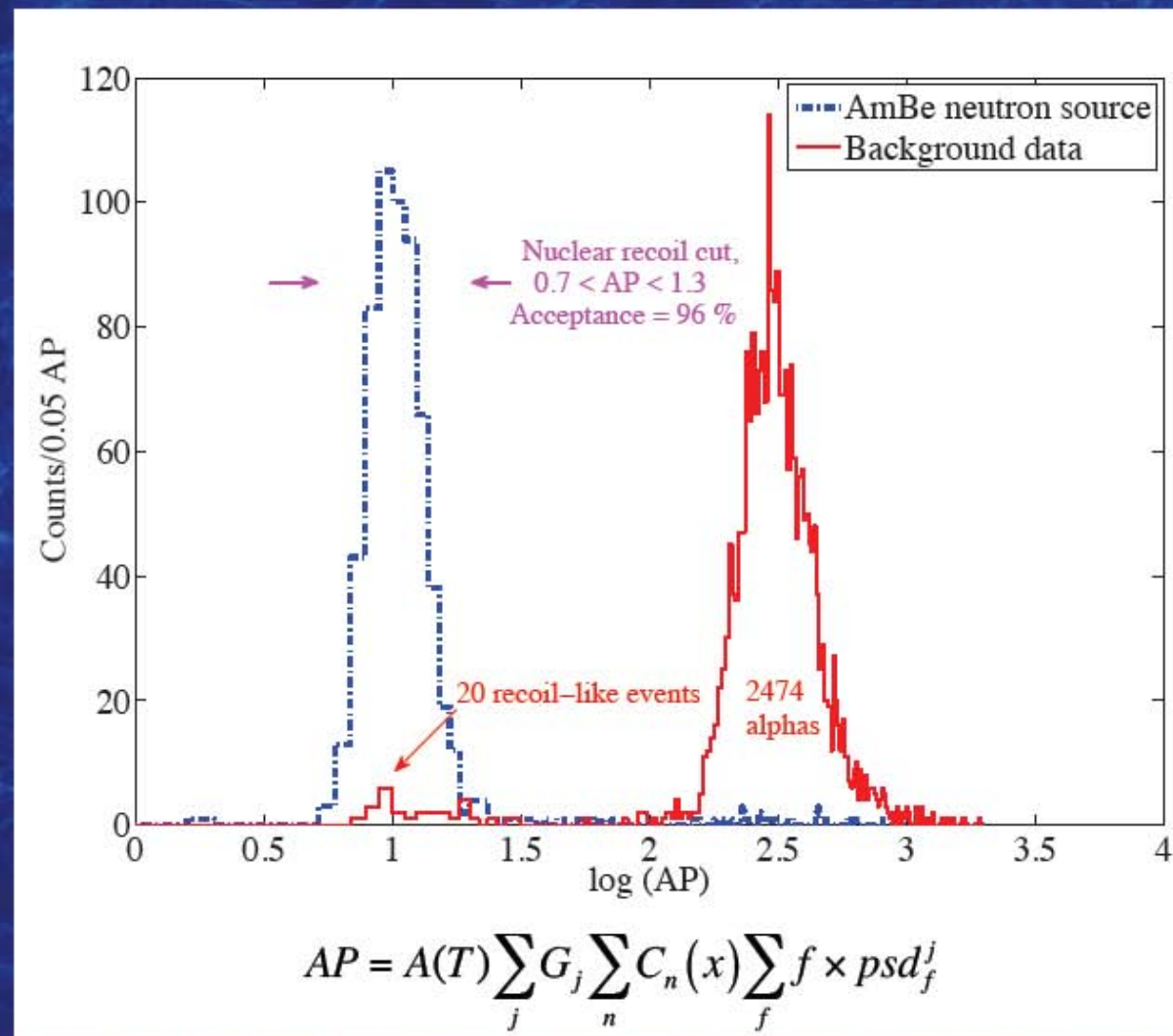
COUPP-4

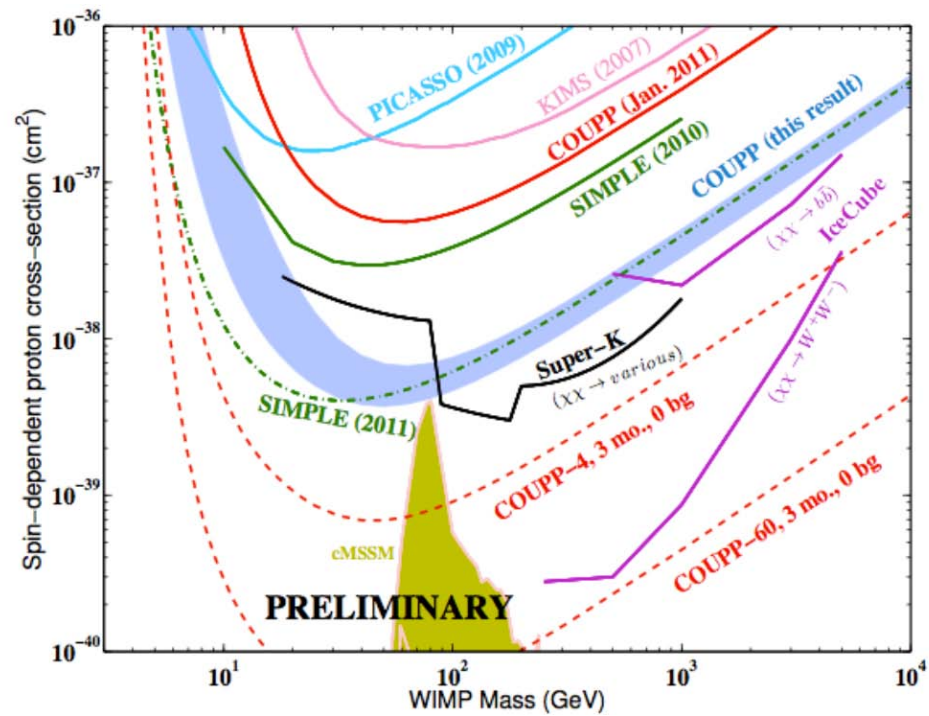
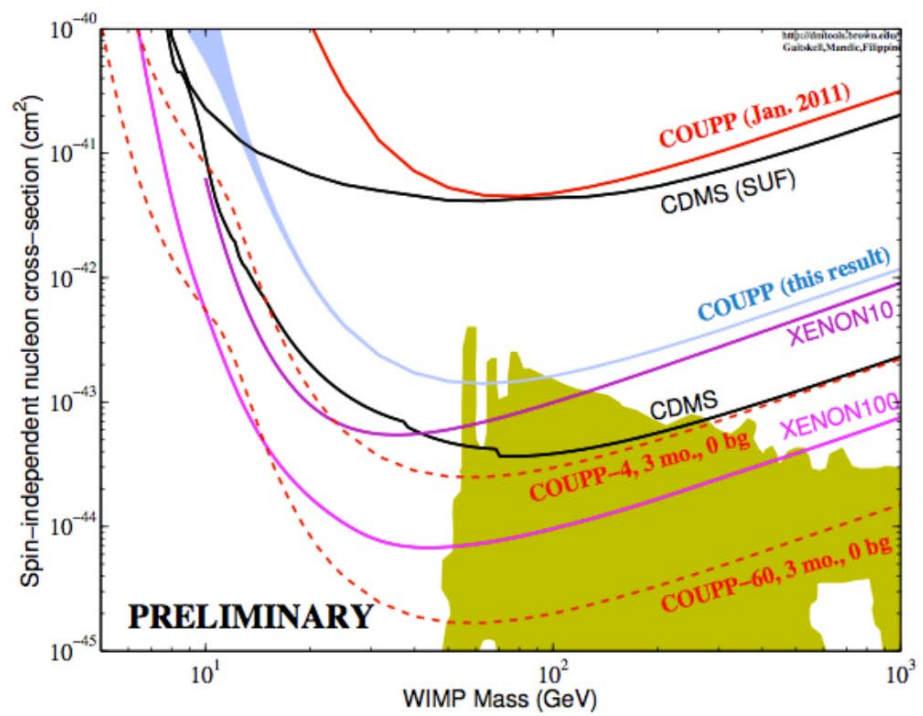


COUPP-60

COUPP2L SNOLAB Results

- >99.3% alpha rejection (15 keV threshold)
- 20 WIMP candidates
 - (0.11, 0.09, 0.03) ev/kg/day above (8, 11, 16) keV
 - Expect ~0.01 ev/kg/day from identified neutron sources
- AP is a measure of acoustic energy
- A(T) temperature correction
- G_j gain correction for j^{th} acoustic sensor
- $C_n(x)$ position correction for n^{th} frequency range
- psd power spectral density with bin center frequency f





Детекторы на жидкых благородных газах

Completed, ongoing, deployment

Future ton- and multiton-scale

() - FV

LNe

LAr

LXe

WARP
2.6 kg
(1.83 kg)

ZEPLIN-III XENON10

The diagram compares two cylindrical components. The top component, labeled "WARP", has a height of 60cm and a diameter of ~48cm. The bottom component, labeled "LUX", has a height of 43cm and a diameter of 350 kg (100 kg).

LUX
350 kg
(100 kg)

miniCLEAN
Ar 360 kg (100 kg)
Ne 310 kg (85 kg)

XMASS
1 ton
(100 kg)

MAX (Ar/Xe),
Xenon 1t, LZS...
1.5-5 ton (1 ton)

ArDM
850 kg

XMASS
20 ton
(10 ton)

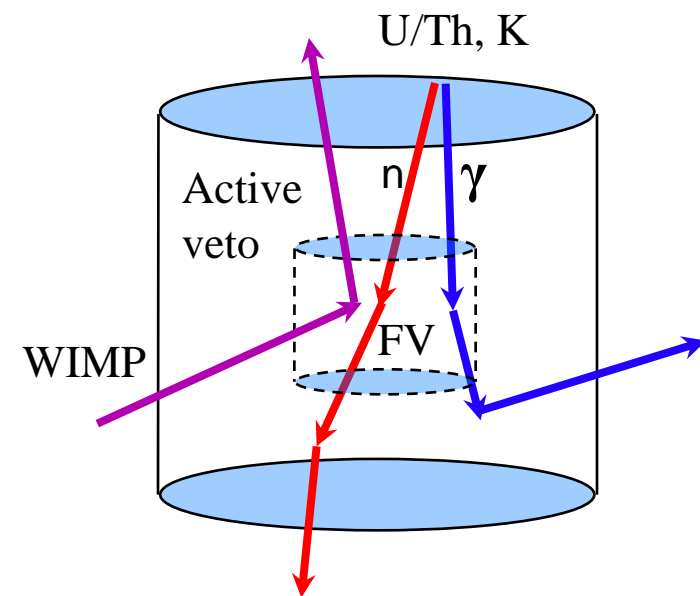
CLEAN
20 – 50 ton
Ne/Ar

LZD...
20 ton (10-15 ton)

Детекторы на жидкких благородных газах

Liquid noble gases are increasingly used as a detection medium for WIMPs

- very low contamination by U/Th, K
(can be easily purified by filtering)
- possibility of discrimination by simultaneous measurements of scintillation and ionization signals in a two-phase mode
- possibility to build large and even very large (ton-scale) detectors
- 3D position sensitivity => “WALL-LESS” detector!!!



For total mass of >3t, reduction of bckg > 10^3

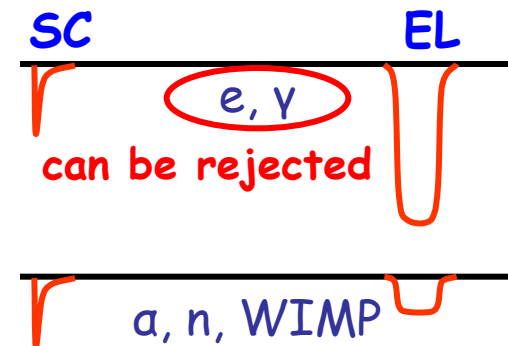
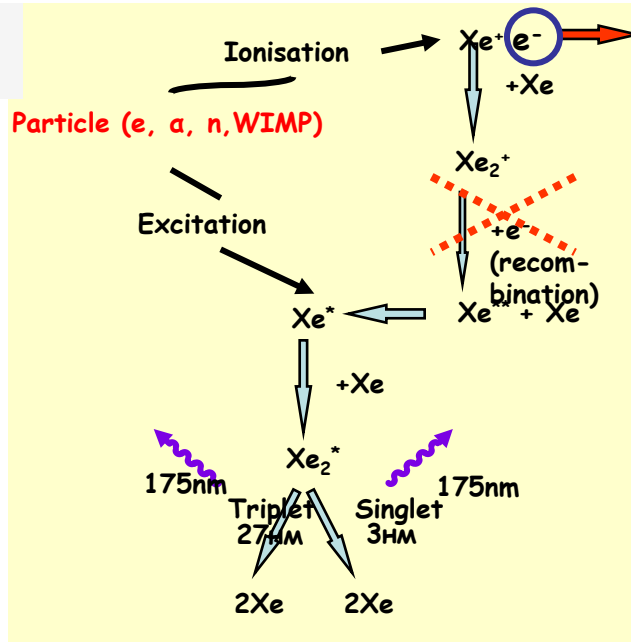
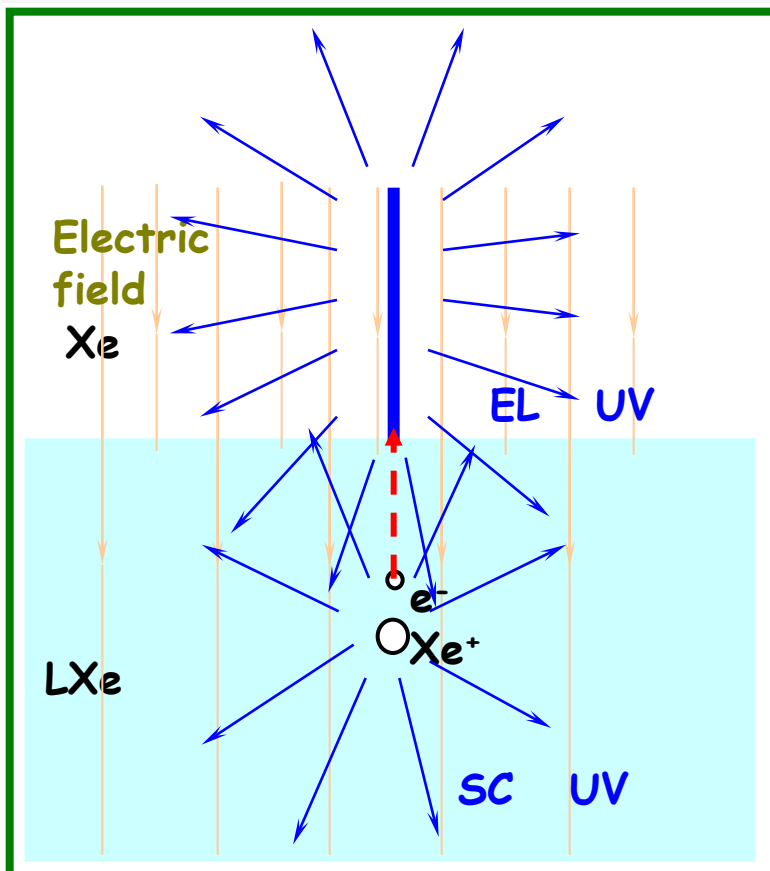
Детекторы на жидкких благородных газах

Discrimination of particles in a two-phase detector (Xe)

B.A. Dolgoshein, V.N. Lebedenko, B.U. Rodionov,
JETP Letters (in Russian), 1970, v. 11, p. 513

For the Dark Matter search:

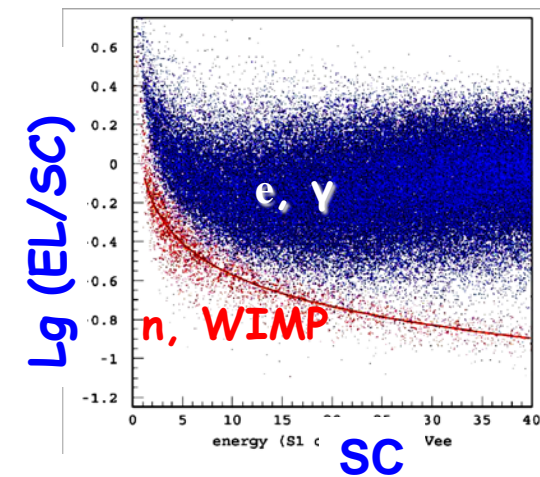
A.S. Barabash and A.I. Bolozdynya, JETP
Letters (in Russian), 1989, v. 49, p. 359



Electrons are partly extracted from the track: recombination is suppressed

Suppression depends on dE/dX

Ratio of SC/EL is different for different kind of particles



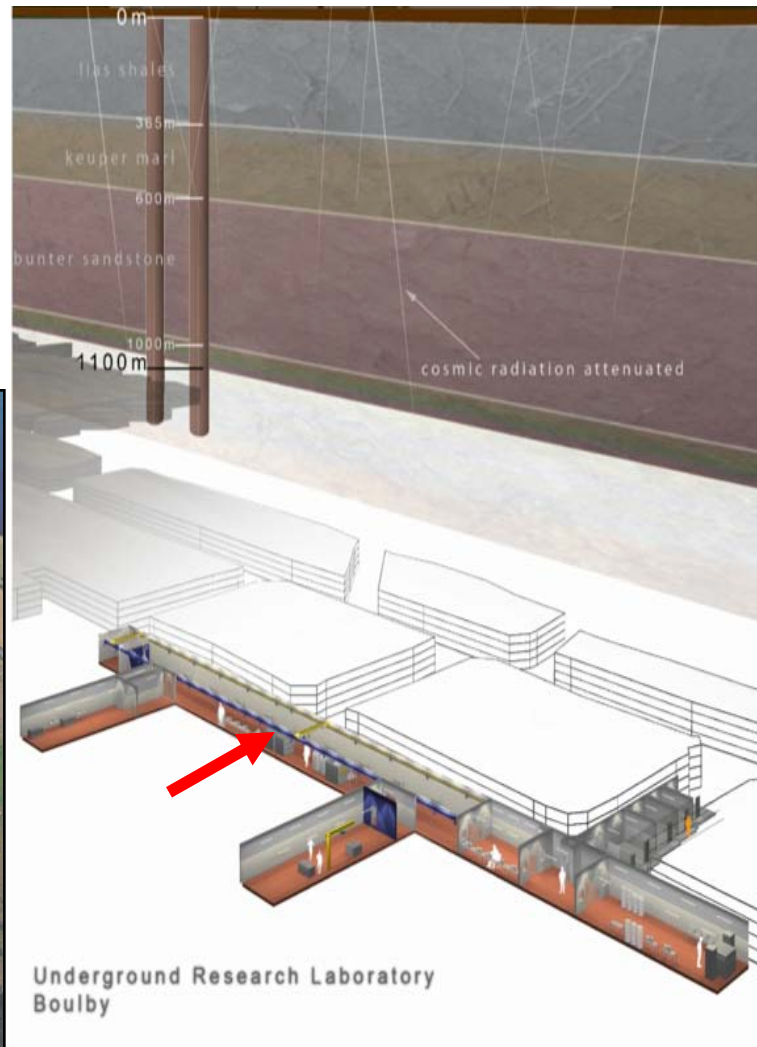
ZEPLIN

ZEPLIN III (two-phase)

-  CCLRC Rutherford Appleton Laboratory
-  Imperial College London
-  University of Edinburgh
-  LIP- Coimbra (Coimbra Univ.)
-  ITEP

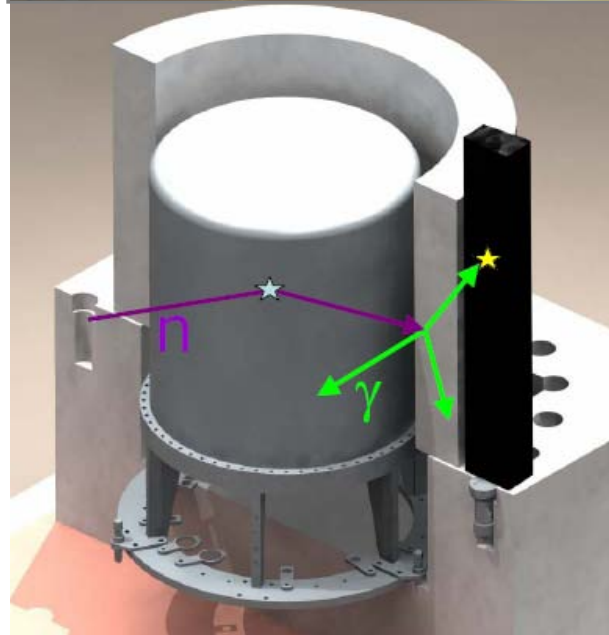
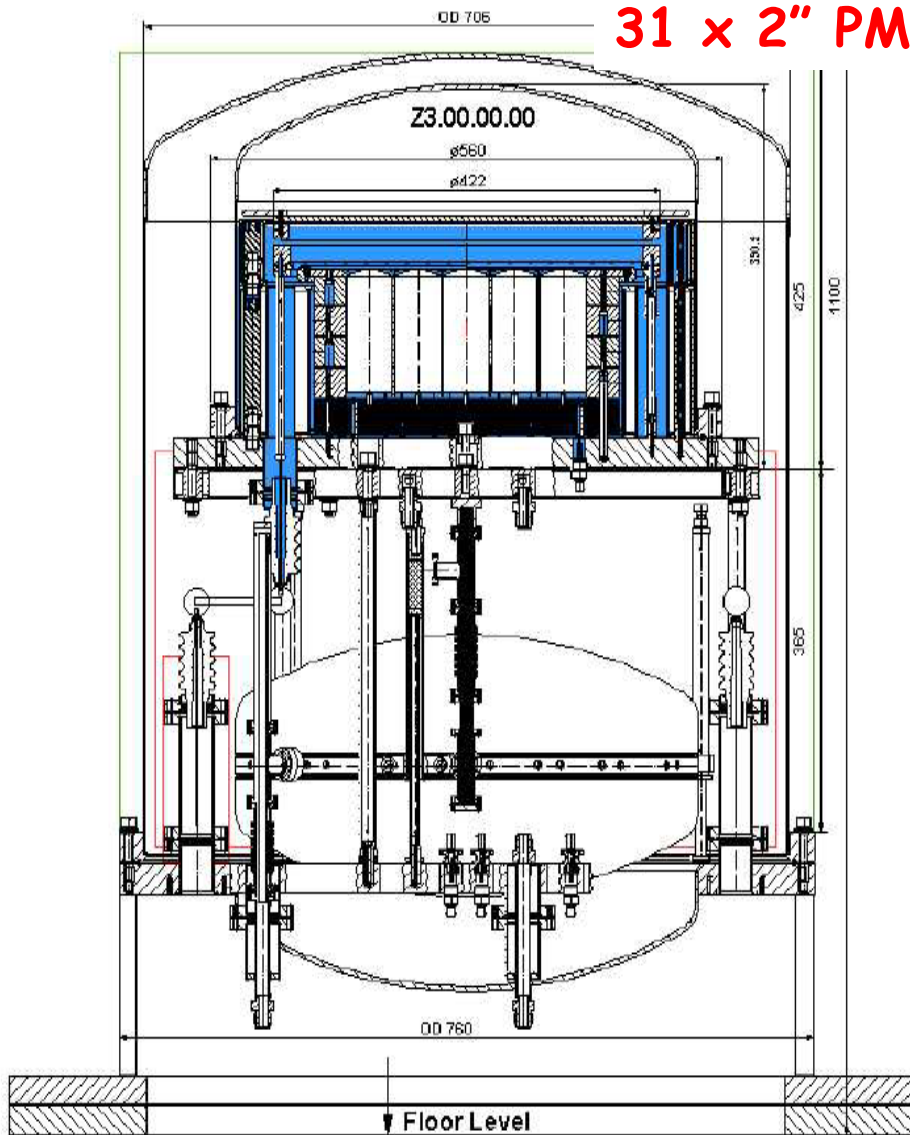


Boulby, U.K. site ('Palmer lab')
1100m, 2.8km water equiv.
 10^6 reduction in muon flux



ZEPLIN III

31 x 2" PMTs



Дизайн разработан в ИТЭФ

ZEPLIN III



Phase 1 (FSR)

Completed in 2008

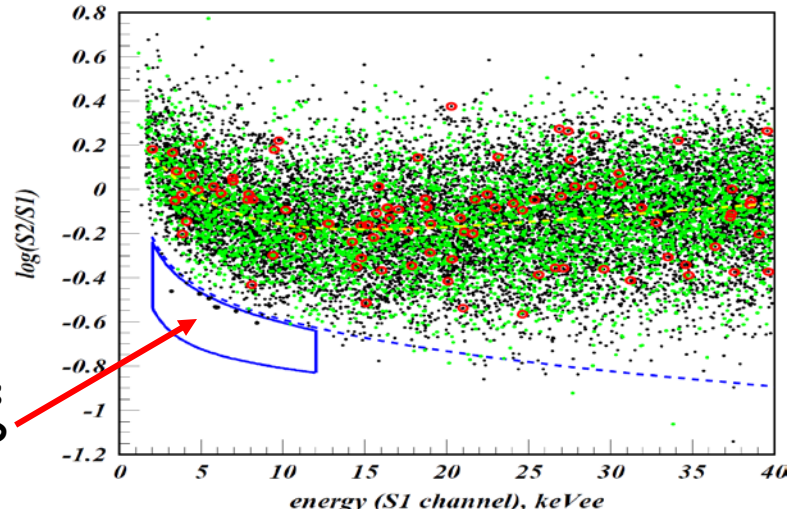
453.6 kg days

$\rightarrow 8.1 \times 10^{-8} \text{ pb}$

astro-

ph:0812.1150

8 events
in WIMP
search
region



Phase 2 (SSR)

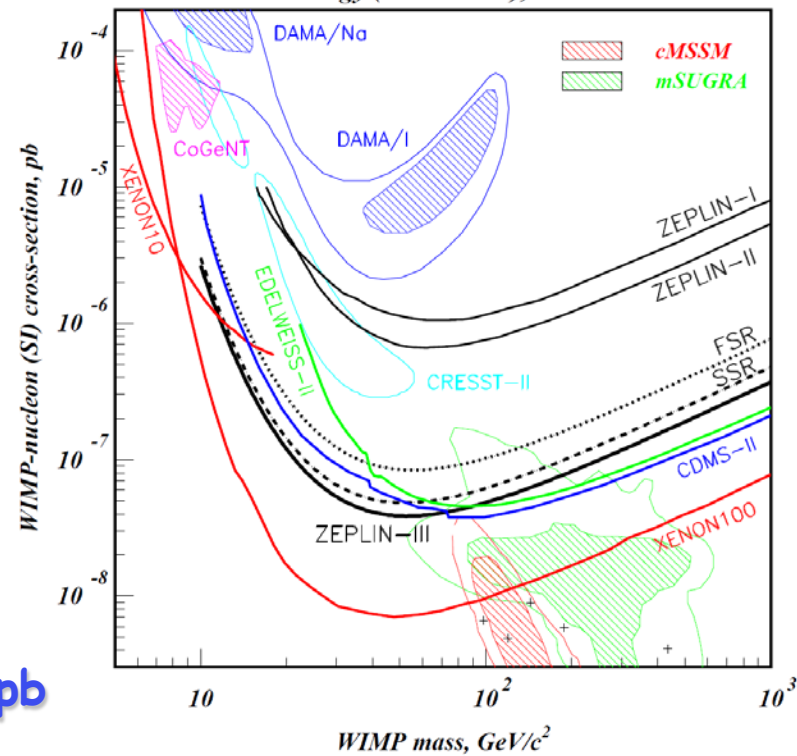
Upgrade:

- 30 times less radioactive PMTs
- Active neutron Veto

Data collected
during 319 days

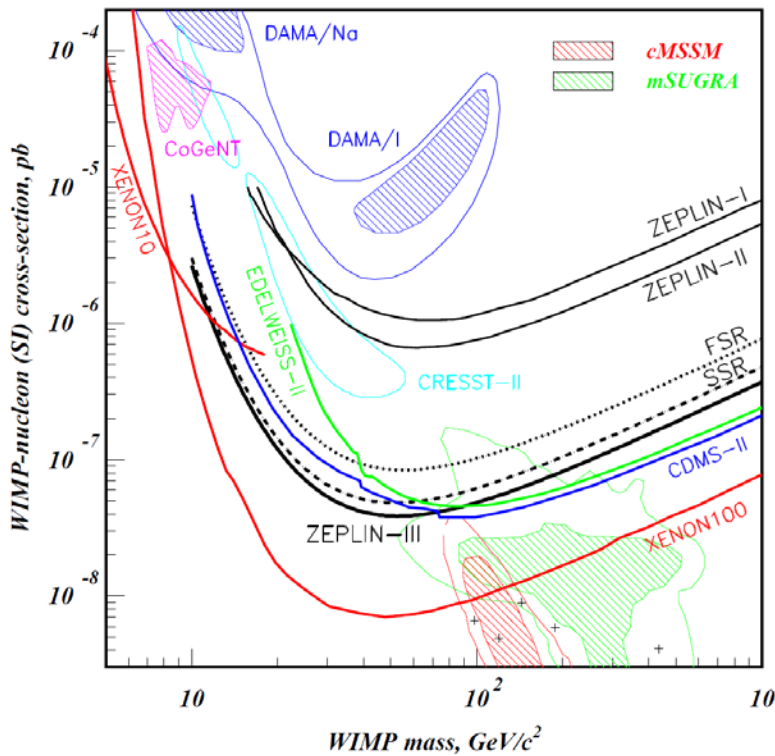
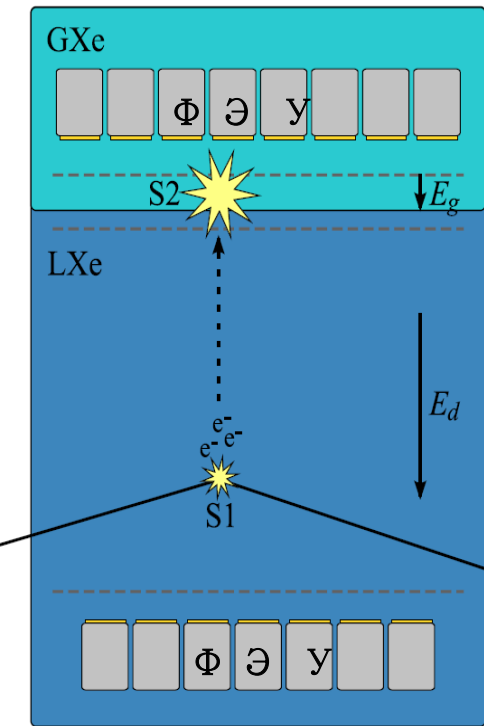
1344 kg·days in FV

$$\sigma_{p\text{ SI}} = 3.9 \times 10^{-8} \text{ pb}$$



Xenon100

150 kg total (70 kg in target)



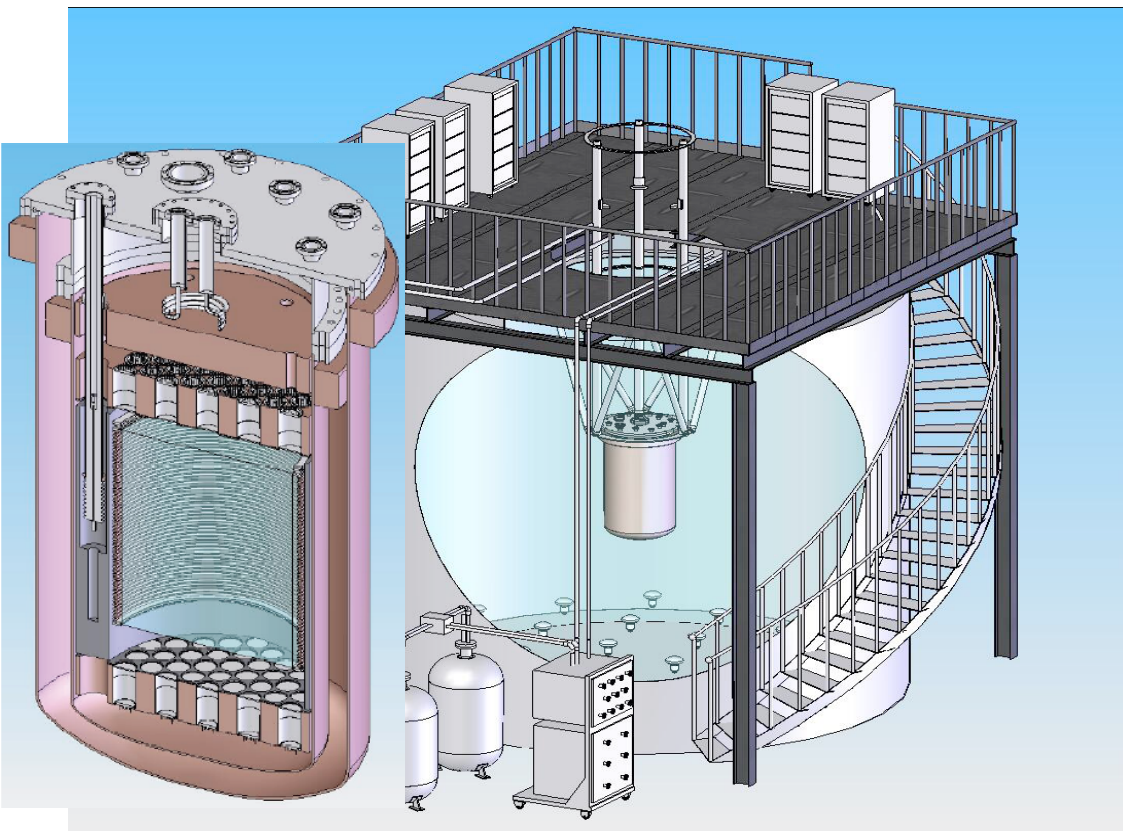
Dark Matter Results from 100 Live Days of
XENON100 Data.

Phys.Rev.Lett.107:131302,2011.

e-Print: arXiv:1104.2549 [astro-ph.CO]

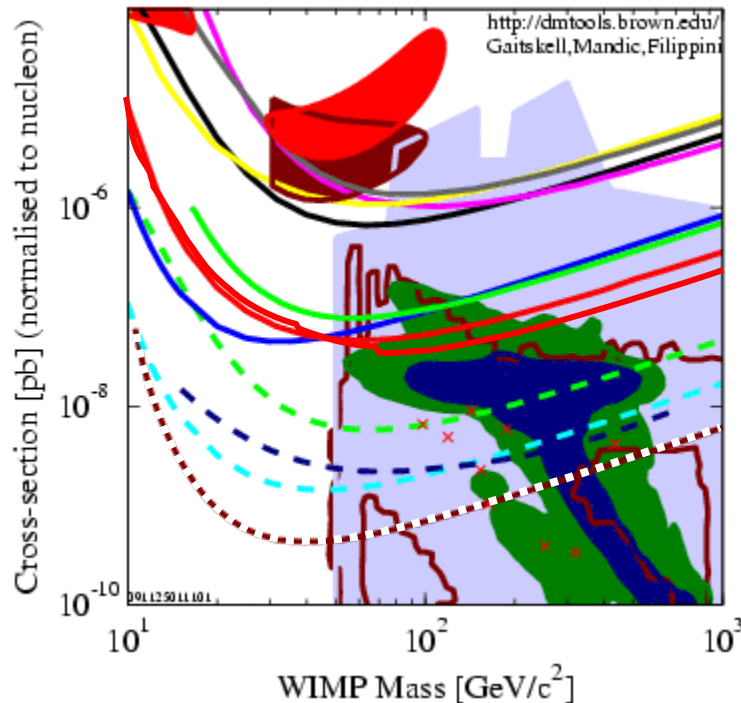
LUX

Large Underground Xenon detector SUSEL - at Homestake; South Dakota



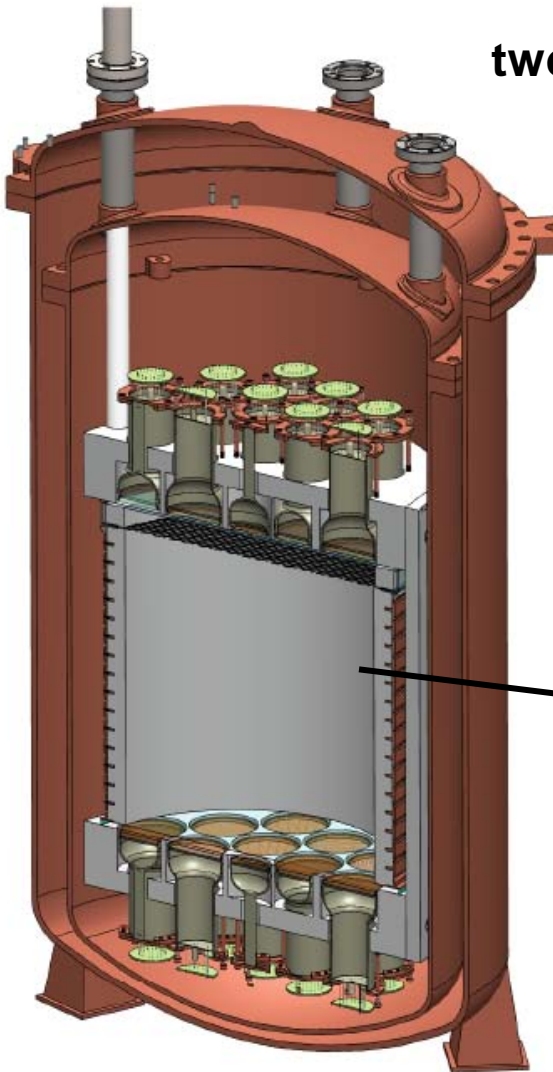
350 kg total (150 kg in target)
Large water shield Cherenkov readout -
muon veto. 10-month exposition

DATA listed top to bottom on plot
 DAMA/LIBRA 2008 3sigma, no ion channeling
 Edelweiss 1 final limit, 62 kg-days Ge 2000+2002+2003 limit
 DAMA 2000 58k kg-days Nal Ann. Mod. 3sigma w/DAMA 1996
 ZEPLIN I (2005)
 WARP 2.3L, 96.5 kg-days 55 keV threshold
 ZEPLIN II (Jan 2007) result
 ZEPLIN III (Dec 2008) result
 CDMS: 2004+2005 (reanalysis) + 2008 Ge
 XENON10 2007 (Net 136 kg-d)
 ZEPLINII(Ly 3, with PMT upgrade) Proj. Sens.
 XMASS 800kg, FV 0.5 ton-year
 Trotta et al 2008, CMSSM Bayesian: 68% contour
 Trotta et al 2008, CMSSM Bayesian: 95% contour
 Ellis et. al Theory region post-LEP benchmark points
 Baltz and Gondolo 2003
 Baltz and Gondolo, 2004, Markov Chain Monte Carlos
 0911.2405v1a



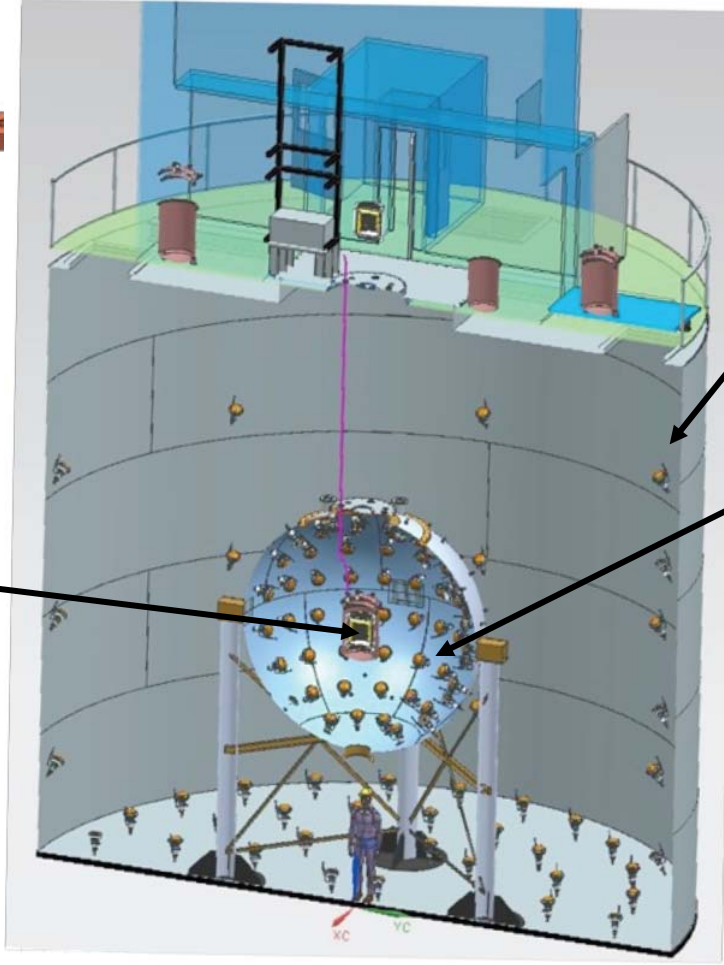
Darkside-50 @ LNGS

Depleted Argon Cryostat for Scintillation and Ionization Detection



two-phase Argon TPC

Will use Ar depleted with ^{39}Ar (1%)



Existing Borexino
CTF Water Tank

Liquid scintillator (PC) loaded
with tri-methyl borate (TMB) with
natural 20% ^{10}B

Projected sensitivity
(~20 keV_{rec} threshold) $\sim 1 \cdot 10^{-45} \text{ cm}^2$
3 yr background-free exposure

Experiments: XMASS

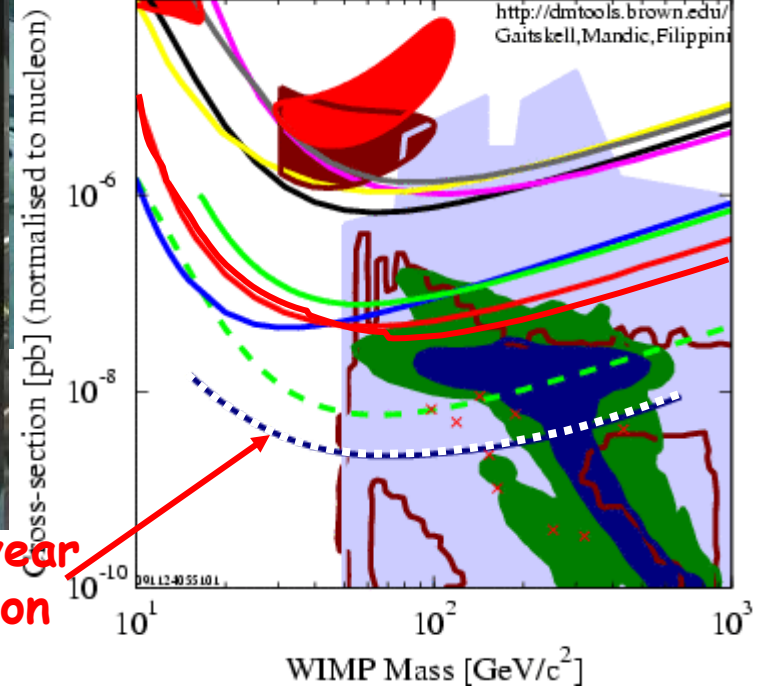
Assembling of XMASS can be tracked:

<http://www-sk.icrr.u-tokyo.ac.jp/xmass/status-e.html>

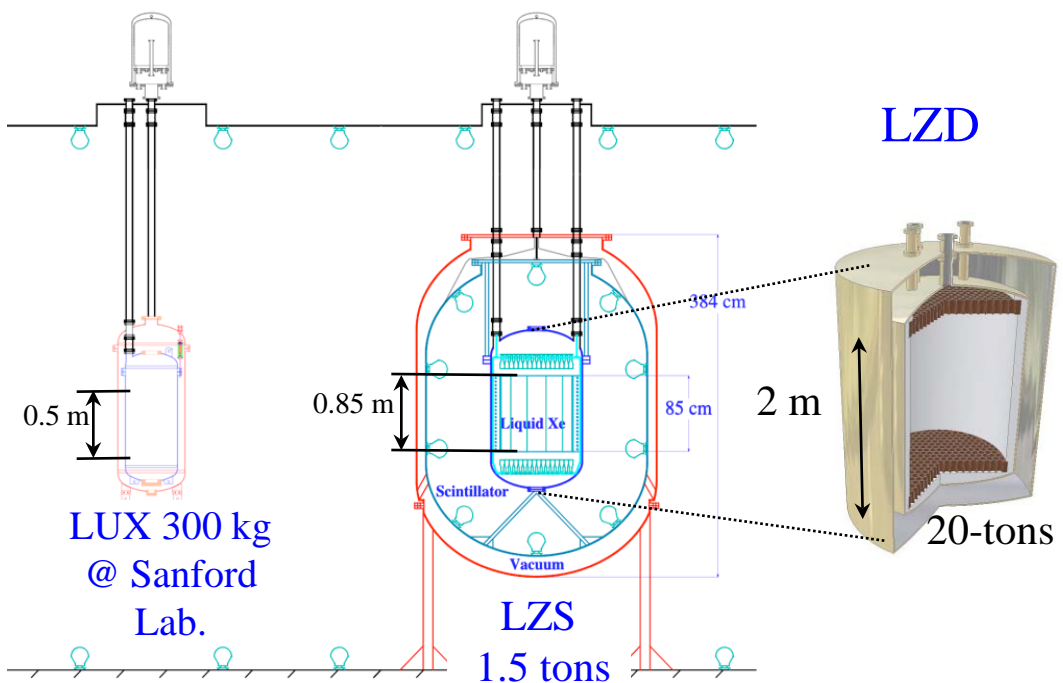


(c) Kamioka Observatory, ICRR (Institute for Cosmic Ray Research), The University of Tokyo

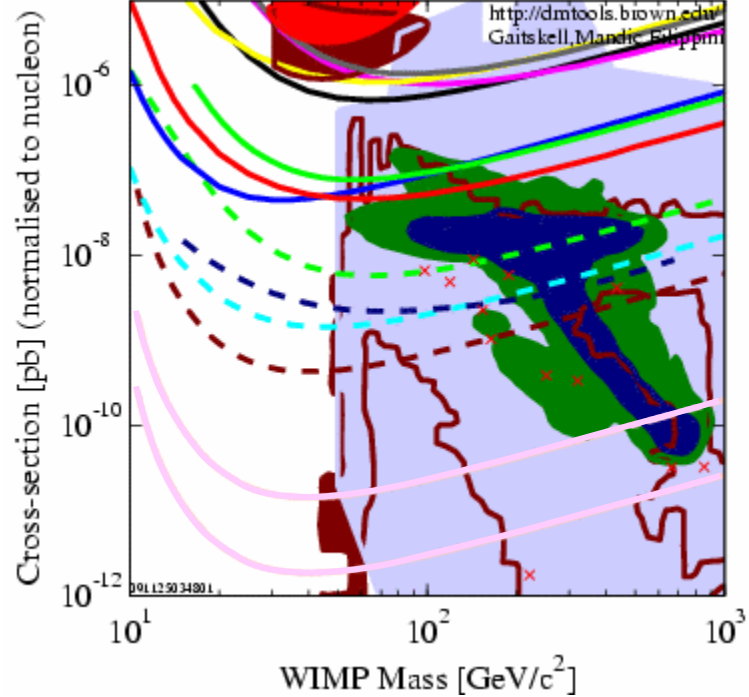
DATA listed top to bottom on plot
DAMA/LIBRA 2008 3sigma, no ion channeling
Edelweiss 1 final limit, 62 kg-days Ge 2000+2002+2003 limit
DAMA 2000 58k kg-days NaI Ann. Mod. 3sigma w/DAMA 1996
ZEPLIN 1 (2005)
WARP 2.3L, 96.5 kg-days 55 keV threshold
ZEPLIN II (Jan 2007) result
ZEPLIN III (Dec 2008) result
CDMS: 2004+2005 (reanalysis) +2008 Ge
XENON10 2007 (Net 136 kg-d)
ZEPLINIII(y3, with PMT upgrade) Proj. Sens.
XMASS 800kg, FV 0.5 ton-year
Trotta et al 2008, CMSSM Bayesian: 68% contour
Trotta et al 2008, CMSSM Bayesian: 95% contour
Ellis et. al Theory region post-LEP benchmark points
Baltz and Gondolo 2003
Baltz and Gondolo, 2004, Markov Chain Monte Carlos
09.L1.3405.51.01



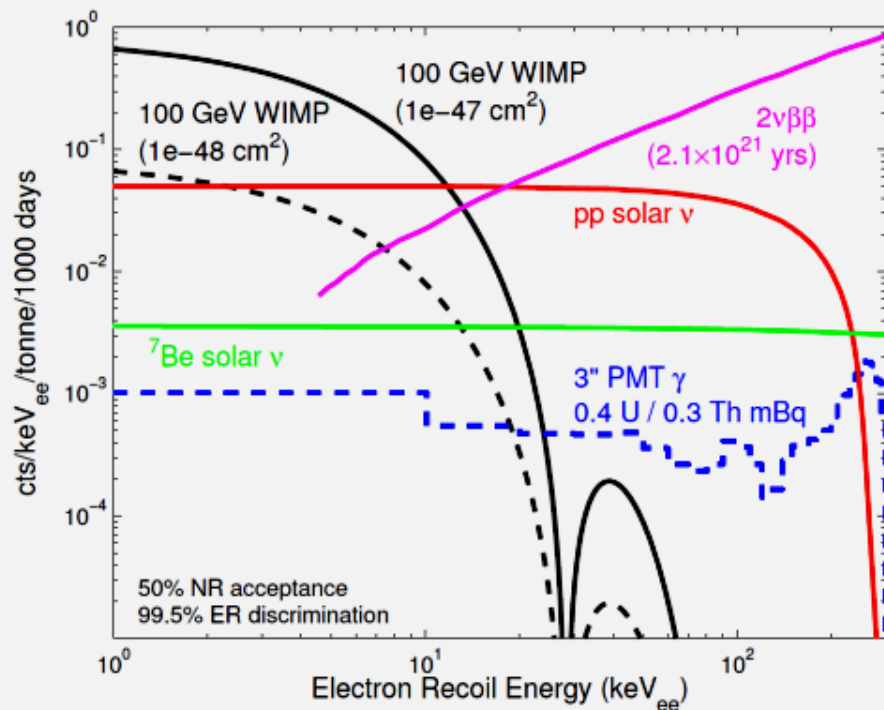
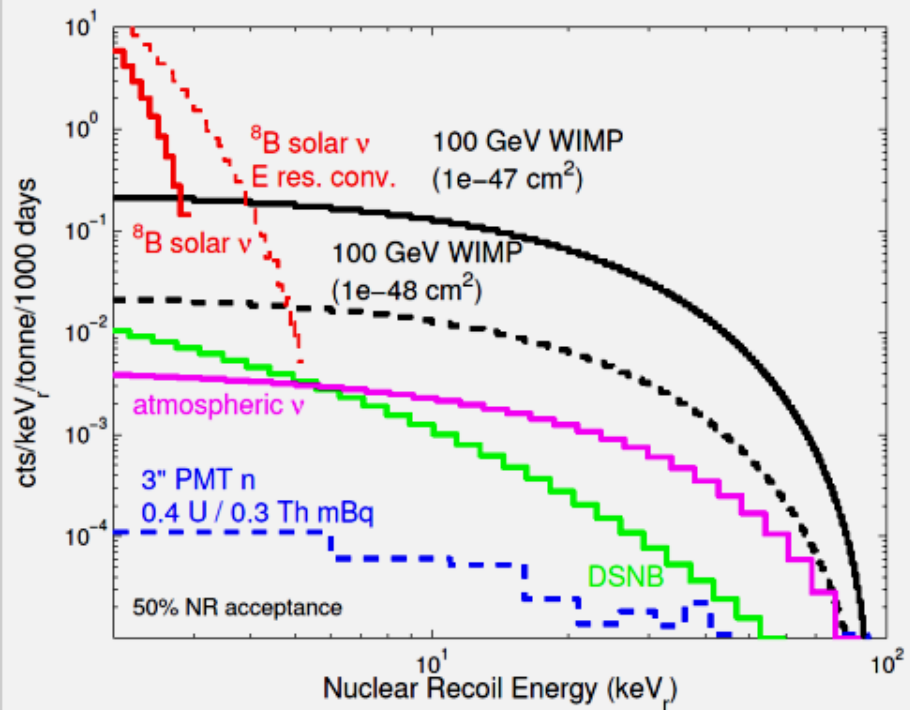
LZS@SUSEL - Sanford Underground Science and Engineering Lab. **4850 feet**
 LZD@DUSEL - Deep Underground Science and Engineering Lab. **8000 feet**



ZEPLINIII(yr 3,with PMT upgrade) Proj. Sens.
 XMASS 800kg, FV 0.5 ton-year
 XENON100 projected sensitivity: 6000 kg-d, 5-30 keV, 45% eff.
 LUX 300 kg LXe Projection (Jul 2007)
 Trotta et al 2008, CMSSM Bayesian: 68% contour
 Trotta et al 2008, CMSSM Bayesian: 95% contour
 LUX/ZEP 3 tonne LXe Proj (3 tonne-year)
 LZ20T LXe Proj (10 evt sens, 13t-kdy)
 Ellis et. al Theory region post-LEP benchmark points
 Baltz and Gondolo 2003

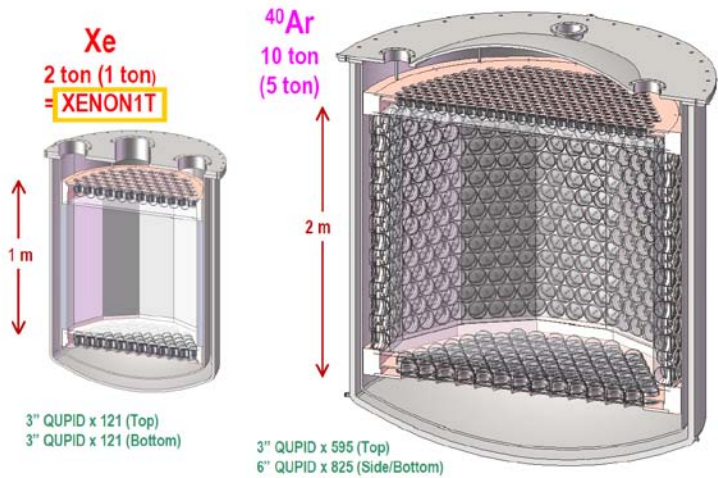


After multi-hit cut and S2/S1 cut

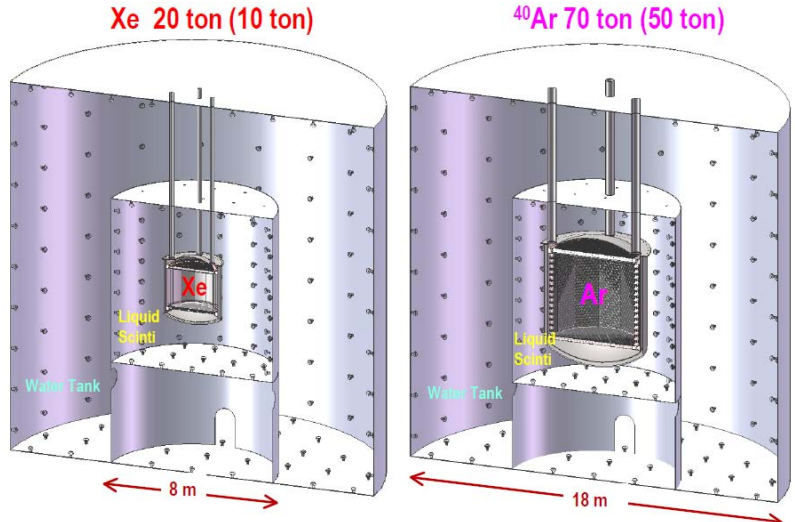
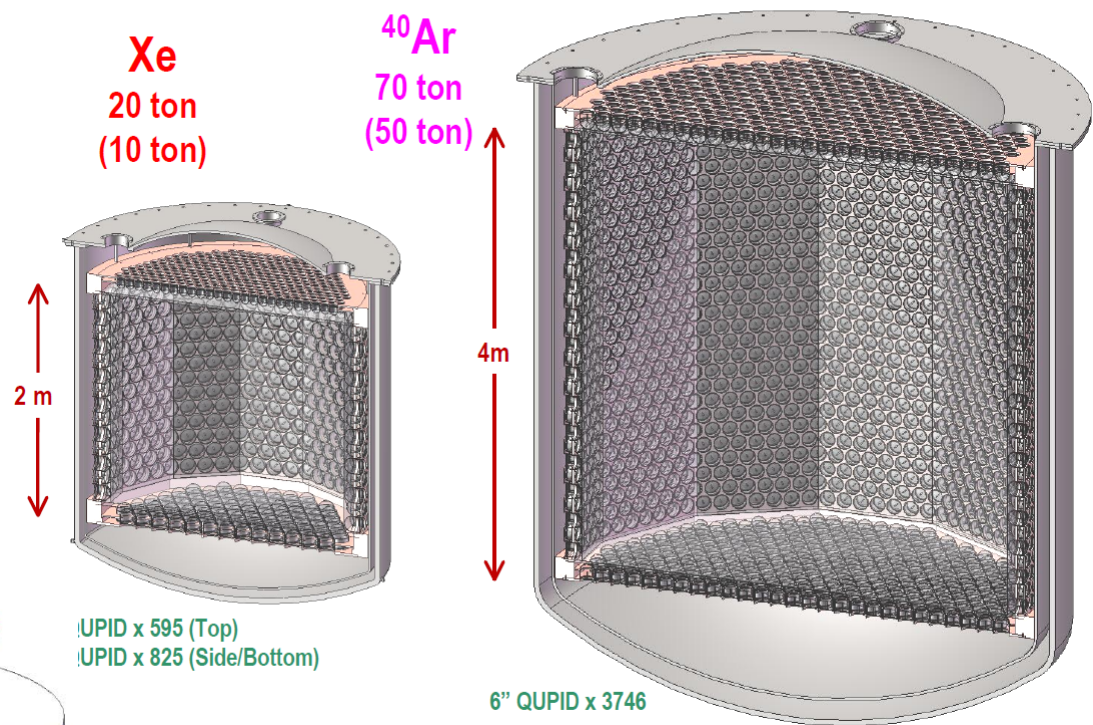


MAX

MAX – G2 Detector

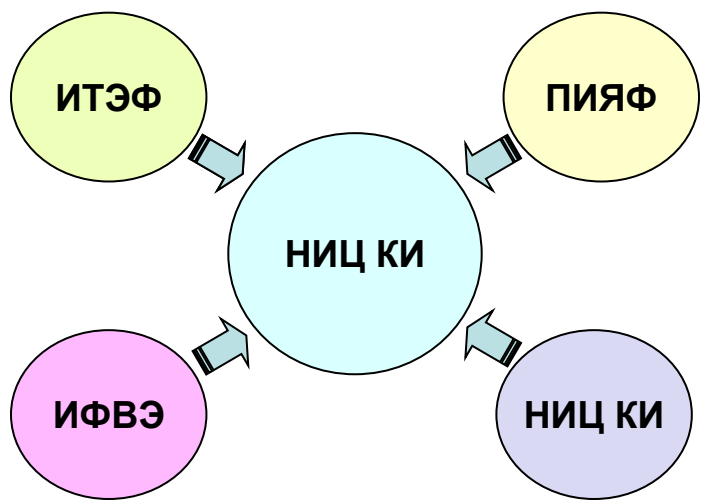


MAX – G3 Detector



DUSEL –
Deep Underground Science and
Engineering Laboratory
8000 feet \approx 2500 м!
Южная Дакота, США

РЭД

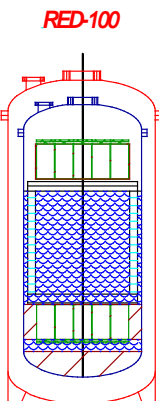


Коллаборация РЭД:
ИТАФ, ПИЯФ, НИЦ КИ – **НИЦ КИ**
МИФИ, ИЯФ, НИИЯФ МГУ

В настоящее время идет разработка детекторов

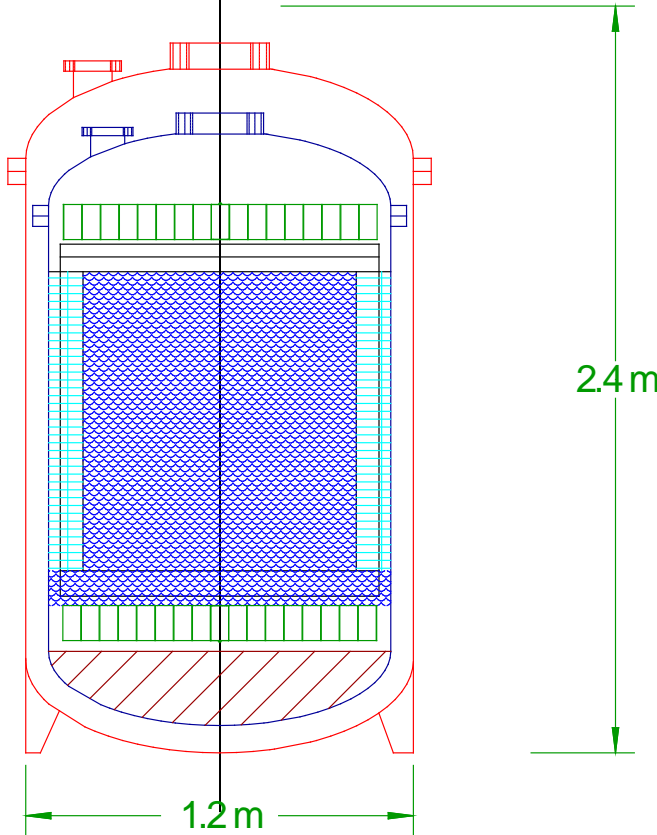


Для поиска ν -N
когерентного
рассеяния



RED-3000

Для поиска Темной Материи



Заключение

- Имеются очень сильные свидетельства существования Темной Материи.
- Эксперименты по прямому детектированию идут полным ходом.
- Благодаря прогрессу в технологиях, с начала экспериментов по настоящее время фон в установках уменьшен почти на 6 порядков величины!
- Супердетекторы (с массой более тонны) пройдут практически весь диапазон предсказаний SUSY.